



МОСКОВСКИЙ ОРДЕНА ТРУДОВОГО КРАСНОГО ЗНАМЕНИ  
ИНЖЕНЕРНО-ФИЗИЧЕСКИЙ ИНСТИТУТ

В. Н. Фетисов

## СПЕКТРОСКОПИЯ ГИПЕРЯДЕР



ВСЕСОЮЗНАЯ  
ШКОЛА ПО  
ТЕОРЕТИЧЕСКОЙ  
ЯДЕРНОЙ ФИЗИКЕ  
им. В. М. ГАЛИЦКОГО

Москва 1991

ГОСУДАРСТВЕННЫЙ КОМИТЕТ СССР ПО НАРОДНОМУ ОБРАЗОВАНИЮ  
МОСКОВСКИЙ ОРДЕНА ТРУДОВОГО КРАСНОГО ЗНАМЕНИ  
ИНЖЕНЕРНО-ФИЗИЧЕСКИЙ ИНСТИТУТ

---

В.Н.Фетисов

СПЕКТРОСКОПИЯ ГИПЕРЯДЕР

Тексты лекций

Утверждено  
редсоветом института

Москва 1991

УДК 539.12

Фетисов В.Н. Спектроскопия гиперядер: Тексты лекций. М.:  
МИИ, 1991. 36 с.

Дан краткий обзор состояния исследований по спектроскопии гиперядер в  $(K^-, \pi^-)$ - ,  $(K^-, \pi^- \gamma)$ - и  $(\pi^+, K^+)$ -реакциях. Рассмотрены возможности процессов генерации гиперядер мезонами,  $\gamma$ -квантами и нуклонами для изучения различных типов возбуждений в гиперядрах. Основное внимание удалено информации о  $\Lambda N$ - и  $\Lambda \bar{N}$ -взаимодействии, получаемой из анализа спектров возбужденных гиперядер, и перспективам дальнейших исследований.

С Московский  
инженерно-физический  
институт, 1991 г.

## ВВЕДЕНИЕ

Ядра, в состав которых наряду с протонами ( $Z$ ) и нейтронами ( $N$ ) входит один или несколько гиперонов ( $\Lambda \equiv 1, \Sigma$  и др.), называют гиперядрами или гиперфрагментами. Систематика уже открытых и с разной степенью полноты изучавшихся  $\Lambda$ -гиперядер представлена на рис. I.

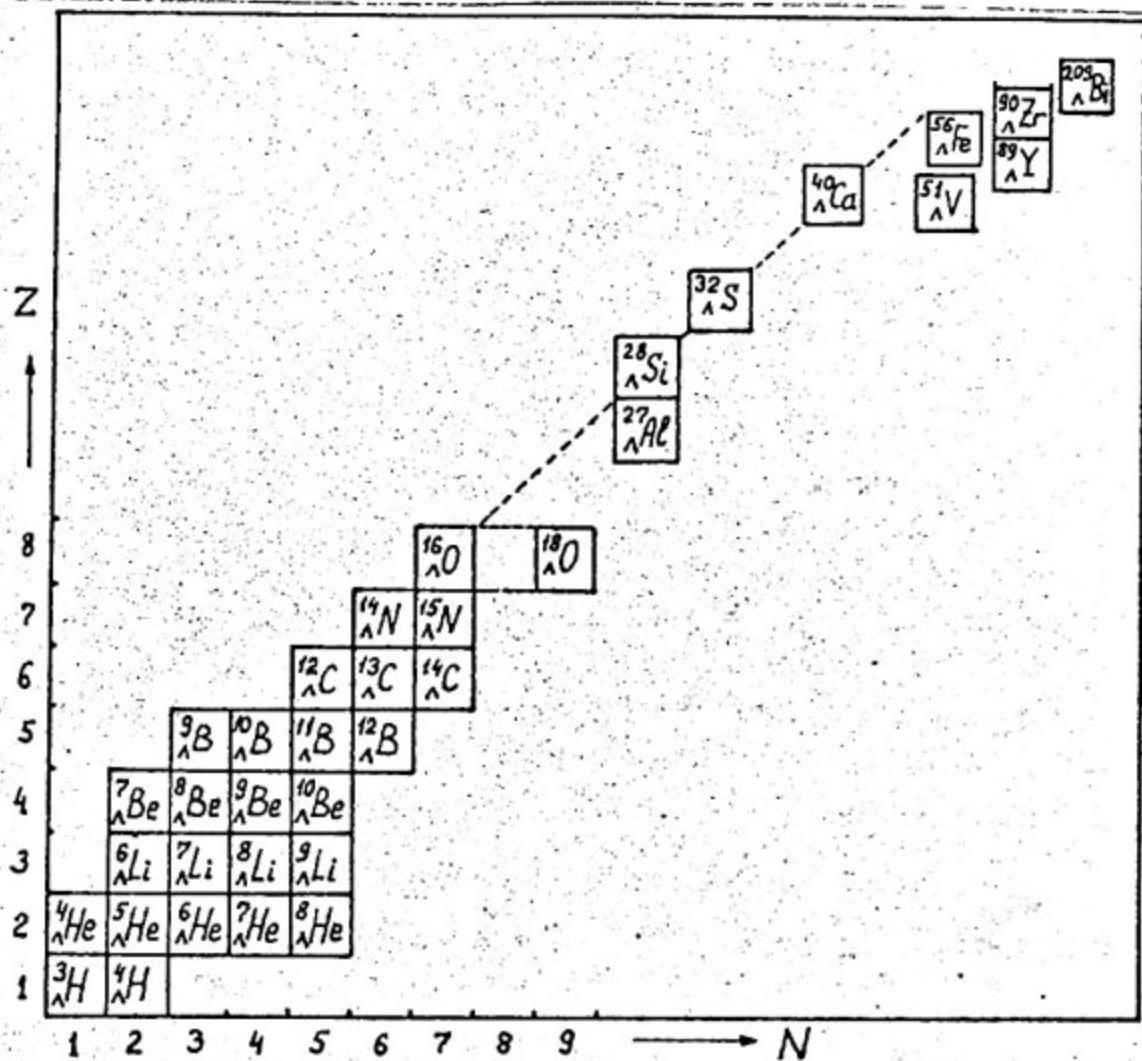


Рис. I Систематика гиперядер составленная по имеющимся в литературе на 1991 г. экспериментальным данным Европейского К- – сотрудничества, ЦЕРНа, БНЛ (Брукхэвенская национальная лаборатория, США) и КЕК (Национальная лаборатория физики высоких энергий, Япония) [1, 9, 29]

Вопрос о существовании возбужденных  $\Sigma$ -гиперядер  $\Lambda$ -оболочки, по данным измерений функций возбуждения ядерных систем в реакциях ( $K^-$ ,  $\pi^+$ ) в ЦЕРНе, БНЛ, и КЕК (Япония), до сих пор остается открытым [2]. Недавнее сообщение об обнаружении в КЕК связанного состояния  $\Sigma$ -гиперона в реакции  ${}^4\text{He} (K_{stop}^-, \pi^-) {}^4\Sigma$  с остановившимися  $N$ -мезонами [3] вновь возрождает интерес к этой проблеме [2, 4]. И, наконец, имеются также указания на наблюдение  $\Xi$ -гиперядер [5].

Гиперядра нестабильны.  $\Lambda$ -гиперядра распадаются вследствие слабых внутриядерных процессов  $\Lambda \rightarrow \Lambda N$  и  $\Lambda N \rightarrow NN$  с изменением странности ( $\Delta S = 1$ ), и их теоретические и измеренные времена жизни  $\tau_\Lambda$  близки к времени жизни свободного  $\Lambda$ -гиперона  $\tau_\Lambda \sim 10^{-10}$  с. Однако эта нестабильность основных состояний

$\Lambda$ -гиперядер не мешает в подходящих реакциях исследовать их спектроскопические характеристики, поскольку  $\tau_\Lambda$  на много порядков больше времени протекания гиперядерных сильных распадов и  $\gamma$ -переходов, т.е. в этом отношении  $\Lambda$ -гиперядра не отличаются от обычных ядер. Нестабильность  $\Sigma$ - или  $\Xi$ -гиперядер по сравнению с  $\Lambda$ -гиперядрами очень велика ( $\tau \sim 10^{-23}$  с) за счет сильных процессов поглощения гиперонов в ядре  $\Sigma N \rightarrow \Lambda N$ ,  $\Xi N \rightarrow \Lambda N$  ( $\Delta S = 0$ ). Поэтому сообщения об открытии резонансных или основных состояний таких гиперядер требуют надежных подтверждений и теоретического обоснования.

Интерес к гиперядрам связан прежде всего с возможностью через изучение их свойств, таких, как энергии связи гиперона, спектры связанных и резонансных состояний, сильные и слабые распады,  $\gamma$ -переходы и др. получать порой уникальную информацию о гиперон-нуклонном и гиперон-ядерном взаимодействиях. Значимость этих исследований усиливается тем обстоятельством, что прямые опыты по рассеянию гиперонов нуклонами или ядрами неосуществимы из-за отсутствия низкоэнергетических пучков гиперонов. Имеющиеся же данные по вторичным бинарным реакциям  $YN \rightarrow YN$  очень ограничены [6]. Далее, гиперон, как нетождественная нуклону частица, на которую в барионной картине ядра не распространяется принцип Паули, может выступать и как пробное тело для более глубокого понимания природы обычных ядер – имеются в виду коллективные и одночастичные движения, оболочечные и кластерные эффекты и др. Высказываются соображения, что, возможно, именно исследования специфических

свойств гиперядер как-то позволяют подступиться к пока что гипотетической проблеме деконфайнмента夸克ов в ядерных системах [7].

После открытия первого гиперядра [8], длительное время идентификация легких гиперядер, измерения энергий связи  $\Lambda$ -гиперона и исследование их слабых мезонных и безмезонных способов распада базировались на данных, получаемых с помощью ядерных фотоэмульсий и пузырьковых камер. Главными результатами этих исследований были значения  $B_A$  (зависимость от  $A$ ) и установление по слабым распадам квантовых чисел некоторых гиперядер (вторая колонка таблицы). Мы не будем задерживаться здесь на этом периоде развития гиперядерной физики, который достаточно полно освещен, например, в обзорах [28, 29] и трудах ранних конференций, а сосредоточим внимание на главных результатах по спектроскопии гиперядер, получившей развитие в начале 70-х годов. Этот этап физики гиперядер, который продолжается и сейчас, оказался возможным благодаря созданию интенсивных пучков  $K^-$ -мезонов ( $1 \sim 10^5$  част./с) с импульсами до  $\sim 800$  МэВ/с сначала в ЦЕРНе, а затем в БИЛ и КЕК. Экспериментальные исследования спектров возбуждения и гиперядерных  $J$ -переходов проводились в реакциях  $(K^-, \pi^+)$  (ЦЕРН, БИЛ),  $(K_{stop}^-, \pi^+)$  (КЕК),  $(\Lambda^-, \pi^+ J)$  (БИЛ), а в последние годы и в  $(\pi^+, K^+)$ -реакциях (БИЛ, КЕК). Результаты этих исследований частично отражены в таблице. Они обсуждались на специальных гиперядерных международных конференциях вместе с примыкающими к этой тематике проблемами физики взаимодействий странных частиц и ядер [30-35].

В этом кратком и не претендующем на полноту обзоре экспериментальных и теоретических исследований по спектроскопии  $\Lambda$ -гиперядер мы затронем особенности реакций генерации гиперядер и остановимся только на узловых результатах, касающихся спектров возбуждения гиперядер, делая упор на вытекающих из их анализа следствиях о реалистичности модельных подходов, основных сведениях об эффективном гиперон-нуклонном и гиперон-ядерном взаимодействии, а также отметим предложения по постановке новых экспериментов, которые бы способствовали дальнейшему продвижению в этой области физики. Распадные свойства возбужденных  $\Lambda$ -гиперядер почти не будут рассматриваться, так как их обсуждение предполагается в лекции проф. Майлинга.

Сведения о гиперядрах  $\frac{J}{A} \Xi$

| $\frac{J}{A} Z$     | J             | $E_A$ , МэВ           | Энергии возбужденных уровней и $\gamma$ -переходов $J_i^{\pi} \rightarrow J_f^{\pi}, E$ или $E_A$ , МэВ | Ссылки       |
|---------------------|---------------|-----------------------|---|--------------|
| $^3\Lambda_H$       | 1/2           | $0,13 \pm 0,05$       |   |              |
| $^4\Lambda_H$       | 0             | $2,04 \pm 0,04$       | $E=1,05 \pm 0,04, 1^+ \rightarrow 0^+$  | I0 - I3      |
| $^4\Lambda_{He}$    | 0             | $2,39 \pm 0,03$       | $E=1,15 \pm 0,04, 1^+ \rightarrow 0^+$  | I0 - I3      |
| $^5\Lambda_{He}$    | 1/2           | $3,12 \pm 0,02$       |   |              |
| $^6\Lambda_{He}$    | (I)           | $4,18 \pm 0,10$       |   |              |
| $^7\Lambda_{He}$    | -             | -                     |   |              |
| $^8\Lambda_{He}$    | -             | $7,16 \pm 0,70$       |   |              |
| $^6\Lambda_{Li}$    | $\sim 4,5$    |                       | $E \approx (8,3)(18,3)$   | I4           |
| $^7\Lambda_{Li}$    | (1/2)         | $5,58 \pm 0,03$       | $E=2,034 \pm 0,023, 5/2^+ \rightarrow 1/2^+, E \approx (8,3)(20,2)$<br>$E=0,789 \pm 0,004?$             | I3; I4<br>I6 |
| $^8\Lambda_{Li}$    | I             | $6,80 \pm 0,03$       | $E=0,31 \pm 0,02; 1,22 \pm 0,02?; 0,442 \pm 0,0021?$  | I0; I5; I7   |
| $^9\Lambda_{Li}$    | -             | $8,50 \pm 0,12$       |   |              |
| $^7\Lambda_{Be}$    | 1/2           | $5,16 \pm 0,08$       |   |              |
| $^8\Lambda_{Be}$    | -             | $6,84 \pm 0,05$       |   |              |
| $^9\Lambda_{Be}$    | 1/2           | $6,71 \pm 0,04$       | $E=3,079 \pm 0,040, (3/2^+, 5/2^+) \rightarrow 1/2^+$<br>$E \approx [12](13,0)[17][23,5][27]$           | I3; I4; I9   |
| $^{10}\Lambda_{Be}$ | -             | $9,11 \pm 0,22$       |   |              |
| $^9\Lambda_B$       | -             | $8,29 \pm 0,12$       |   |              |
| $^{10}\Lambda_B$    | -             | $8,89 \pm 0,12$       |   |              |
| $^{11}\Lambda_B$    | 5/2           | $10,24 \pm 0,05$      |   |              |
| $^{12}\Lambda_B$    | 1             | $11,37 \pm 0,06$      |   |              |
| $^{12}\Lambda_C$    | 1             | $10,76 \pm 0,19$      | $E \approx [(II, 5)]$<br>$E \approx [(4, 4)] [(10, 4)] [(15)]$  | I9, 20       |
| $^{13}\Lambda_C$    | 1/2           | $11,69 \pm 0,12$      | $[(16, 4)] [(26)]$  | I9, 21, 22   |
| $^{14}\Lambda_C$    | .             | $12,17 \pm 0,33$      |   |              |
| $^{15}\Lambda_N$    | $\sim 12,17$  |                       | $E=(10,5) (19)(22)$   | 2I           |
| $^{15}\Lambda_N$    |               | $13,59 \pm 0,15$      |   |              |
| $^{16}\Lambda_O$    | $\sim (12,5)$ |                       | $E \approx [(6, 0)] [(10, 5)] [(16, 5)]$  | I9, 20       |
| $^{18}\Lambda_O$    |               |                       | $E \approx (13)(20)(24)(30)$  | 2I           |
| $^{27}\Lambda_{Al}$ |               |                       | $E_A \approx (9)(-2)$   | I4, 20       |
| $^{28}\Lambda_{Si}$ |               | $\sim [16]$           | $E_A \approx [7] [-2]$  | I9           |
| $^{32}\Lambda_S$    |               | $\sim (17,5 \pm 0,5)$ | $E_A \approx (6)(-5)$   | I4           |

Продолжение табл.

| $A_z$                 | $J$         | $B_A, \text{МэВ}$               | Энергии возбужденных уровней<br>и $\gamma$ -переходов $J_l^{\pi} \rightarrow J_f^{\pi}$ ,<br>$E$ или $B_A, \text{МэВ}$ | Ссылки     |
|-----------------------|-------------|---------------------------------|--|------------|
| $^{40}_{\Lambda} Ca$  | $\sim [20]$ | $B_A \approx [II](10) [I] (-5)$ |  | 14, 19     |
| $^{57}_{\Lambda} V$   |             | $B_A \approx [I2] [(4)] [(-5)]$ |  | 14, 19, 20 |
| $^{56}_{\Lambda} Fe$  | $\sim [21]$ |                                 |  | 23         |
| $^{89}_{\Lambda} Y$   | $\sim [23]$ | $B_A \approx [I6][9][I.5]$      |  | 19         |
| $^{209}_{\Lambda} Bi$ |             | $B_A \approx (-7)(-15)$         |  | 14, 20     |

Примечания:  $J$  – полный момент гиперядра,  $B_A$  – энергия связи  $\Lambda$ -гиперона,  $E$  – энергии связанных и резонансных состояний  $\gamma$ -переходов. Идентификация  $\gamma$ -переходов  $J_l^{\pi} \rightarrow J_f^{\pi}$  в  $^{7Li}$  и  $^{9Be}$ , наблюдавшихся в ( $K^-$ ,  $\pi^-$ ,  $\gamma$ )-реакциях, представлена в соответствии с результатами работы [25]. Гиперядро  $^{7}_{\Lambda} He$  идентифицировано, однако  $B_A$  ( $^{7}_{\Lambda} He$ ) имеет широкое распределение, связанное с существованием изоморфного состояния [9, 25, 26]. Гиперядерная  $\gamma$ -линия 0,442 МэВ приписана в [ $I7$ ]  $^{8}_{\Lambda} Li$ , но в теоретическом анализе экспериментальных данных по реакции  $^{10}_{\Lambda} B(K^-, \pi^- \gamma) ^{10}_{\Lambda} B^*$  [18] эта  $\gamma$ -линия отнесена к переходу  $3/2^+ \rightarrow 1/2^+$  в  $^{7}_{\Lambda} Li$ , которое образуется при кластерном распаде  $^{10}_{\Lambda} B \rightarrow ^3He + ^7Li(3/2^+)$ . В гиперядрах с  $A \approx 60 \div 100$  верхний предел  $B_A = 22,7 \pm 0,4$  МэВ [27]. Энергии резонансов ( $E$ ) и [ $E$ ] получены в реакциях ( $K^-$ ,  $\pi^-$ ) и ( $\pi^+$ ,  $K^+$ ) соответственно. Структура таблицы и данные заимствованы из обзора [I].

Более детальное обсуждение других аспектов физики гиперядер и многообразие оригинальных работ по интерпретации отдельных экспериментальных фактов можно найти в упомянутых трудах конференций и известных обзорных работах [I, 36–39].

## I. ОСОБЕННОСТИ РЕАКЦИЙ ОБРАЗОВАНИЯ ГИПЕРЯДЕР

Возможен целый ряд реакций, приводящих к образованию гиперядер: реакции с обменом странностью – ( $K^-$ ,  $\pi$ ), реакции ассоциативного рождения – ( $\pi^+$ ,  $K^+$ ), ( $\gamma$ ,  $K^+$ ), ( $e$ ,  $e' K^+$ ), ( $p$ ,  $p' K^+$ ), ( $p$ ,  $H^+$ ),  $J_{\text{реак.}} + A \rightarrow \gamma' Z + x$ ,  $\bar{p} + A \rightarrow \gamma' Z + x$ , перезарядки – ( $K^-$ ,  $K^+$ ) и др. Из них пока только ( $K^-$ ,  $\pi^+$ ) и ( $\pi^+$ ,  $K^+$ ) применялись

в спектроскопии гиперядер. В реакциях с релятивистскими ядрами  ${}^4\text{He}$  ( $p=18$  ГэВ/с) [40] наблюдался слабый пионный распад  ${}^4\text{H}^-$  и измерено его время жизни. На пучках электронов ( $E_e^\pi=1,2$  ГэВ) [41] и антипротонов ( $p=0$ ) [42] обнаружено задержанное деление, позволившее сделать оценку времени жизни тяжелых гиперядер с  $A \sim 200$ .

Считается, что механизм большинства реакций преимущественно однонуклонный и для их описания можно пользоваться импульсным приближением с искаженными волнами (DWIA). Важнейшими характеристиками реакций являются:

- i) переданный гиперону (гиперядру) импульс  $q$ , определяющий передаваемый орбитальный момент  $\Delta L$  и через формфактор перехода вероятность "застревания" гиперона в ядре;
- ii) спиновая зависимость амплитуды элементарной реакции, задающая соотношение переходов с переворотом и без переворота спина;
- iii) энергетические и угловые зависимости элементарных сечений, необходимые для выбора оптимальных кинематических условий и получения максимального выхода реакций. Факторы i) и ii) играют ключевую роль в селективности возбуждения разного типа гиперядерных состояний.

Сечения и переданные импульсы однонуклонных реакций  $K^-n \rightarrow \Lambda^-$ ,  $\bar{\Lambda}^0 \rightarrow K^0 \Lambda$  и  $pp \rightarrow K^0 p \Lambda$  (в реакциях под действием протонов  $q$  приведено для ядра-мишени  ${}^{12}\text{C}$ ) в зависимости от импульса налетающей частицы показаны на рис.2-5.

Минимальное значение  $q=0$  возможно только для реакций ( $K^-$ ,  $\pi^-$ ) при  $P_{\text{кл}} \sim 550$  МэВ/с. Этот факт, на который было обращено особое внимание еще в работах [46], послужил мощным стимулом использования ( $K^-$ ,  $\pi^-$ )-реакций в спектроскопии гиперядер при исследовании странных аналоговых резонансов замещения ( $\Delta L = 0$ ) нейтрона  $\Lambda$ -гипероном. Для других реакций  $q$  больше фермиевского импульса ( $\sim 270$  МэВ/с), что усиливает вклад переходов с изменением орбитального момента бариона ( $\Delta L > 0$ ). Очень большие  $q \sim 1$  ГэВ/с характерны для предложенных в [47] ( $p$ ,  $K^+$ )-реакций, поэтому их сечения особенно критичны к короткодействующим барион-барионным корреляциям [48]. Реакции ( $K^-$ ,  $\pi^-$ ) "на лету" обычно изучаются при  $P_K \sim 700-800$  МэВ/с, а ( $\pi^+, K^+$ ) - в области максимума элементарного сечения при  $P_\pi \sim 1050$  МэВ/с.

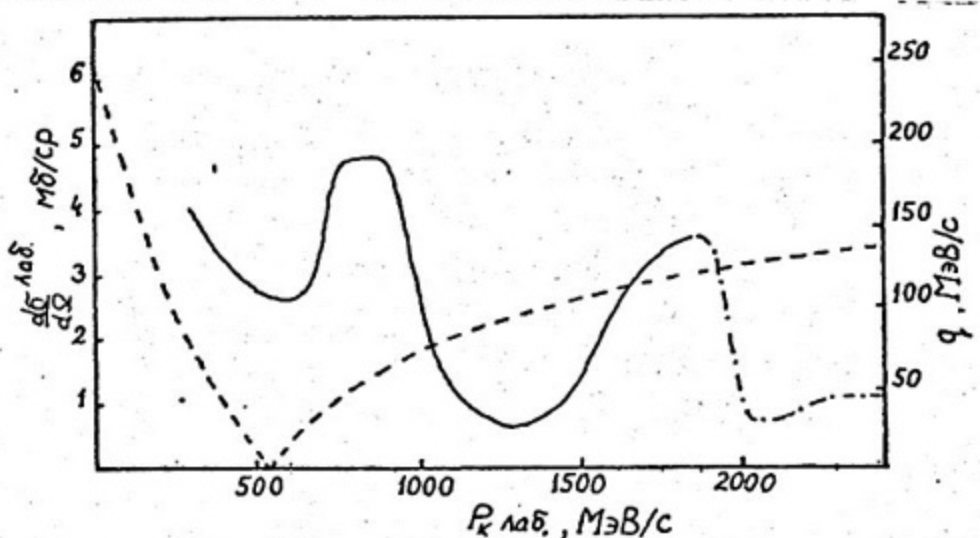


Рис.2. Сечение реакции  $K^-p \rightarrow \pi^-\Lambda$  при  $\theta_\pi = 0^\circ$  (сплошная и штрих-пунктирная линии) и переданный импульс  $q$  (пунктирная линия)

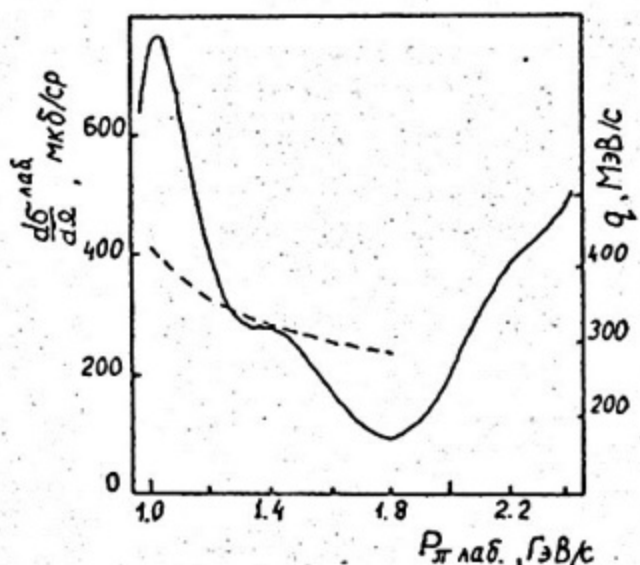


Рис.3. Сечение реакции  $\pi^+p \rightarrow K^+\Lambda$  при  $\theta_K = 0^\circ$  (сплошная линия) и переданный импульс  $q$  (пунктирная линия) [1,24]

В импульсном приближении (DWIA) сечение реакции генерации гиперядер  $A$  ( $a$ ,  $b$ )  $H$  ( $\Lambda$  – ядро,  $H$  – гиперядро)  $K^-$  или  $\pi^-$ -мезонами в  $\Lambda$ -системе имеет вид:

$$\frac{d\sigma}{dP_0}(\theta_b) = \frac{(2\pi)^4 p_b^2 / T_f^{1/2} E_a E_b E_H}{p_a \{ p_b (E_H + E_b) - p_a E_b \cos \theta_b \}} , \quad (I)$$

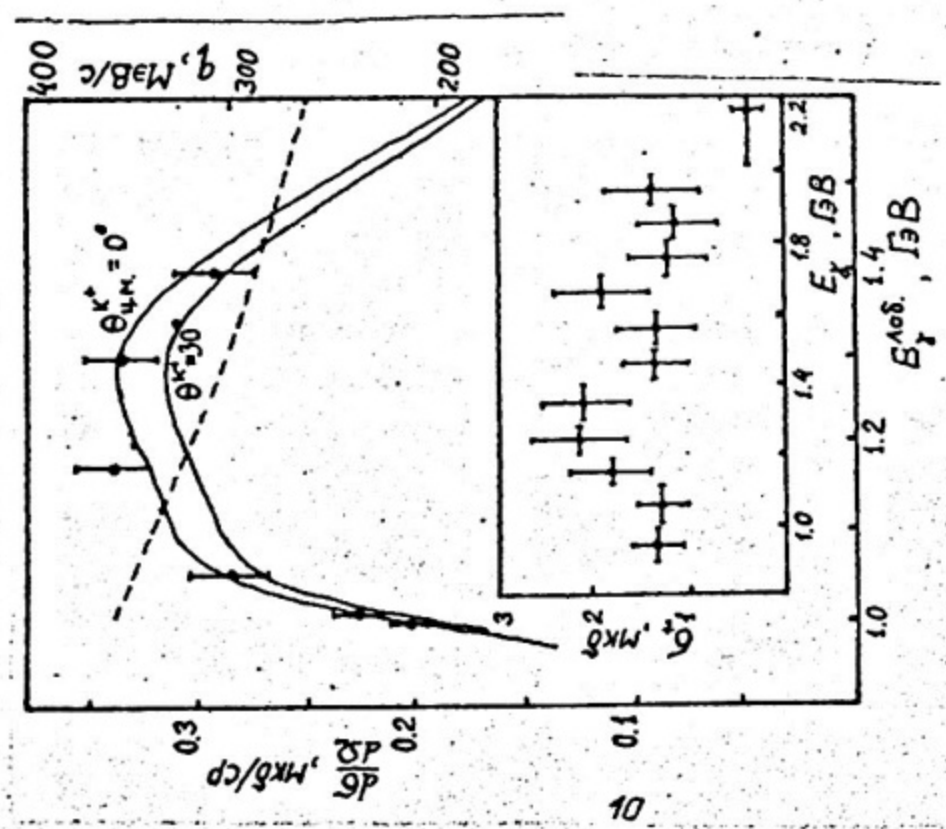


Рис.4. Сечение реакции  $\rho \rightarrow K^+ \pi^-$  (сплошные линии) при  $\theta_K = 0^\circ, 30^\circ$ , полное сечение и переданный импульс  $q$  (пунктирная линия) [44]

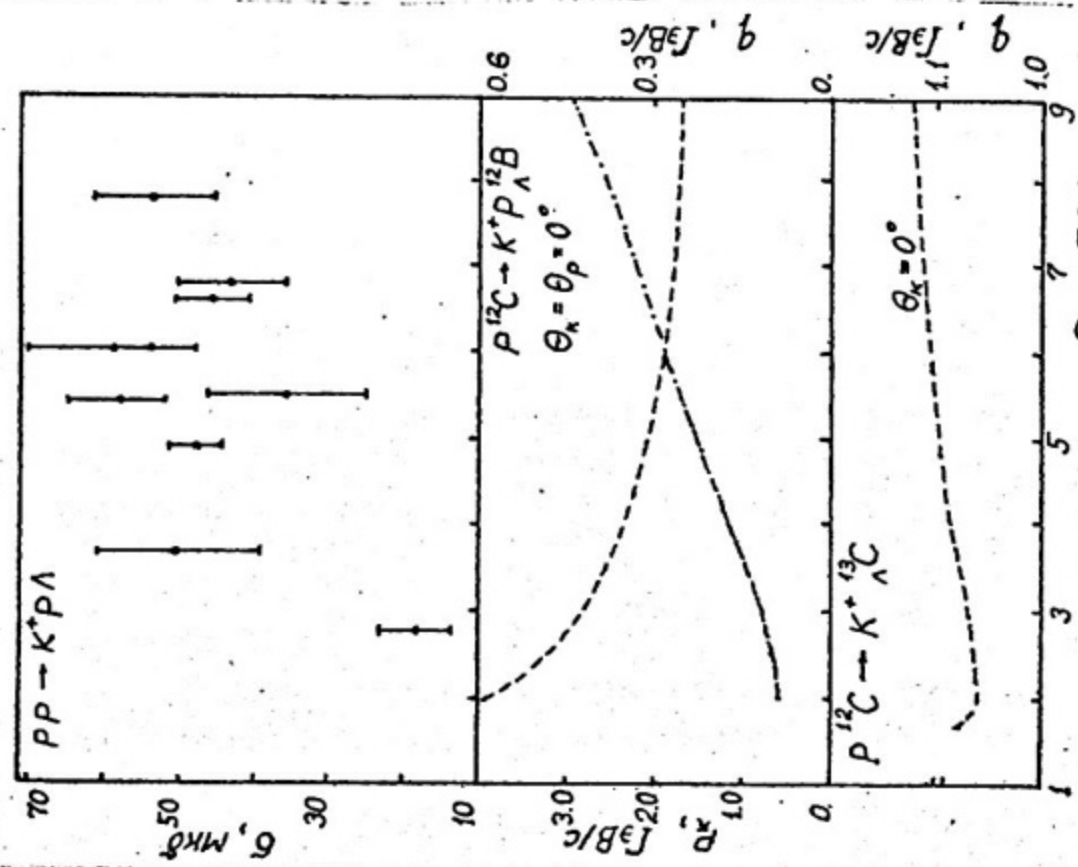


Рис.5. Сечение реакции  $\rho \rightarrow K^+ \pi^-$  [45] и переданные импульсы  $q$  в реакциях  $\rho-^{12}C \rightarrow K^+ \rho-^{12}B$  и  $\rho-^{12}C \rightarrow K^+ \rho-^{13}C$  (пунктирные линии),  $P_K$  – импульс  $K^+$ -мезона (штрихпунктирная линия)

где

$$T_{if}^A = \langle H, J_f | M_f | \int d\tau \chi_{p_b}^{(-)}(r) \chi_{p_a}^{(+)}(r) \sum_{i=1}^J u_i(N \rightarrow \Lambda) \delta(r - r_i) \lambda [f + i g(\theta_F)]_i | J, J_f M_i \rangle. \quad (2)$$

В выражении (2)  $\chi_{p_b}^{(-)}(r)$ ,  $\chi_{p_a}^{(+)}(r)$  – волновые функции мезонов, вычисляемые либо в эйкональном приближении, либо с оптическими потенциалами,  $\lambda$  – кинетический коэффициент, учитывающий связь двухтельной амплитуды в ЦМ- и  $\Lambda$ -системах,  $p$  и  $E$  – импульсы и энергии частиц,  $\theta_F$  – угол вылета мезона,  $\pi = \hat{p}_b \cdot \hat{p}_a^*$ . Спин-Флореал часть амплитуды  $g$  в  $(K^-, \pi^-)$ -реакции в интервале углов  $\theta_F < 20^\circ$  при  $P_K \approx 800$  МэВ/с дает малый вклад в сечение, однако он становится большим при  $P_K \sim 1200$  МэВ/с. В  $(\pi^+, K^+)$ -реакции вклад от  $g$  достигает ~50% уже при  $\theta_K \sim 20^\circ$  и  $P \sim 1200 + 1300$  МэВ/с [1, 50]. При этом у гиперона (гиперядра) возникает заметная поляризация. Изучение свойств поляризованных гиперядер может составить одно из интересных направлений физики гиперядер [1, 51].

В анализе спектров возбуждения гиперядер используют приближение факторизации: амплитуду  $t_\Lambda(aN \rightarrow b\Lambda)$  выносят из матричного элемента (2) при некотором импульсе нуклона, а затем элементарное сечение усредняют по ферми-движению нуклона ядро-мишени [37]<sup>\*\*</sup>. В результате для не слишком больших  $\theta_F$  получается простая связь сечения реакции на ядре с усредненным элементарным сечением и эффективным числом нейтронов  $N_{\text{эфф}}^n$ :

$$\frac{d\sigma}{d\Omega_\Lambda}(\theta_F) = \alpha_K \frac{d\sigma}{d\Omega_\Lambda}(aN \rightarrow b\Lambda, \theta_F = 0^\circ) |_{\varphi} N_{\text{эфф}}^n(\theta_F), \quad (3)$$

где  $\alpha_K = 1 + (1 - \frac{P_a}{P_b} \cos \theta_F) \frac{E_b}{E_\Lambda(q_\Lambda)}$  – кинематический коэффициент.

Важные особенности  $(K^+, \pi)$ - и  $(\pi^+, K^+)$ -реакций можно выявить, приняв в расчетах  $N_{\text{эфф}}^n$  для состояний  $|A\rangle$  и  $|H\rangle$  – оболочечные функции. С учетом мультипольного разложения

$$\chi_{p_b}^{(-)}(r) \chi_{p_a}^{(+)}(r) = \sum_{\Delta L} i^{\Delta L} \sqrt{4\pi(2\Delta L + 1)} j_{\Delta L}(p_a, p_b, \theta_F; r) Y_{\Delta L 0}(\hat{r}) \quad (4)$$

<sup>\*\*</sup> Влияние кинематического смешивания амплитуд  $f$  и  $g$  на сечение при переходе от ЦМ в другую систему отсчета изучалось в работе [49]. Для обсуждаемых здесь вопросов оно не существенно.

<sup>\*\*\*</sup> Другие способы учета ферми-движения обсуждаются в работах [1, 52].

$N_{\text{eff}}^{\pi}$  выражается через приведенные одночастичные матричные элементы  $\langle \pi_N l_N | j_{\Delta L} Y_{\Delta L} | \pi_N l_N \rangle$ . На рис. 6 они показаны в зависимости от  $\theta_f$  (или  $q$ ) для разных  $\Delta L$ . Видно, что при малых  $q$  ( $\theta_f \leq 15^\circ$ ) доминируют переходы с  $\Delta L = 0$ , при этом  $J_f^{\pi} = J_i^{\pi}$  и гиперон замощает нуклон на той же самой орбите ( $\pi l j$ ). Это подтверждается наблюдением в БИЛ и ЦЕРНе [36] (см. также таблицу и рис. II) очень сильных гиперядерных резонансов замещения в ( $K^-, \pi^-$ )-реакциях. С увеличением  $q$  недиагональные элементы возрастают, и к резонансам с  $\Delta L = 0$  добавляются новые с  $\Delta L = 1, 2$ . На основе такой зависимости  $N_{\text{eff}}^{\pi}$  от  $q$  для  $^{16}\text{O}$  ( $\Delta L = 0$ ) [54] и  $^{13}\text{C}$  ( $\Delta L = 0, 2$ ) [21] впервые получена информация о спин-орбитальном взаимодействии  $\Lambda$ -гиперона с ядром.

Основные черты ( $\pi^+, K^+$ )-реакций с большими  $q \sim 350$  МэВ/с были предсказаны в работе [55]. Там показано, что для мишеней с замкнутыми оболочками ( $J_i^{\pi} = 0$ ) максимальные  $N_{\text{eff}}^{\pi}$  ( $\theta_f \sim 0^\circ$ ) получаются для матричных элементов перехода с безузловыми одночастичными функциями —  $\langle \pi_N l_N | j_{\Delta L} Y_{\Delta L} | \pi_N l_N \rangle \delta(J_f, \Delta L)$  и конечными

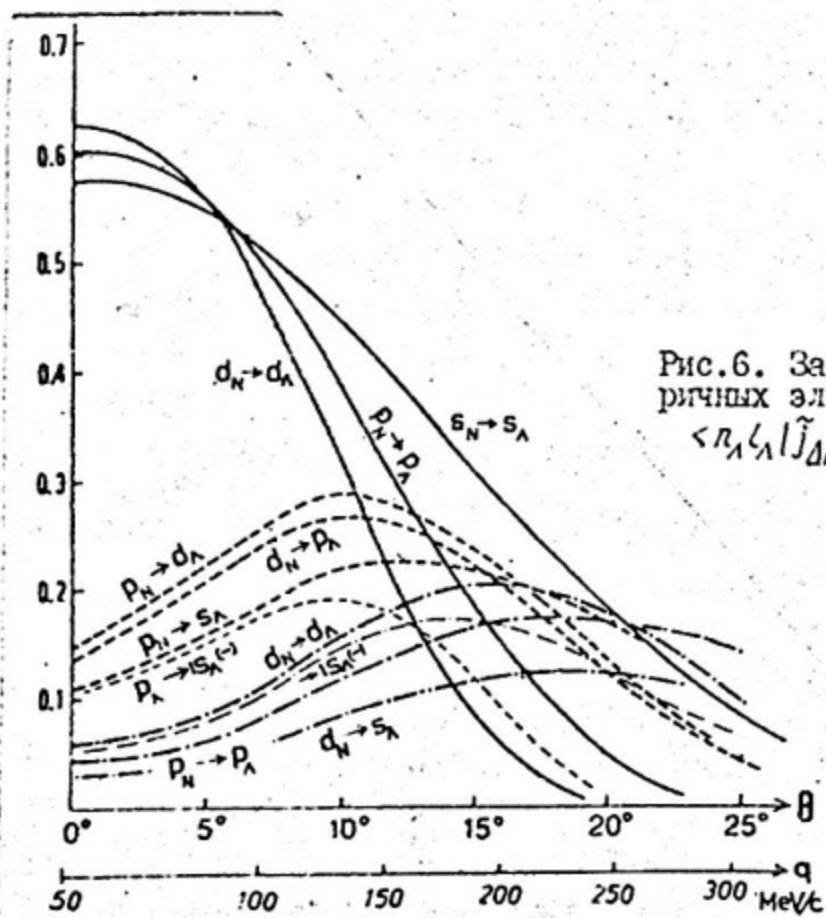


Рис. 6. Зависимость от  $q$  матричных элементов  
 $\langle \pi_N l_N | j_{\Delta L} Y_{\Delta L} | \pi_N l_N \rangle$  [53]

состояниями  $[(0l_A)_{j_A} (0l_N)_{j_N}]^1 : HJ_f \rangle$ . При этом реализуются большие полные моменты гиперядра  $J_f = j_A + j_N$ , возрастающие с увеличением  $A$  ( $3 \leq J_f \leq 12$ ,  $30 \leq A \leq 200$ ), причем основной вклад в спектр  $N_{\text{эфф}}^n$  дают нейтроны последней оболочки. Яркая одночастичная картина спектра гиперядра сохраняется и для ядер-мишеней с неучаствующими в реакции незамкнутыми протонными оболочками ( $J_i \neq 0$ ). Поскольку  $\Lambda$ -гиперон, как нетождественная нуклону

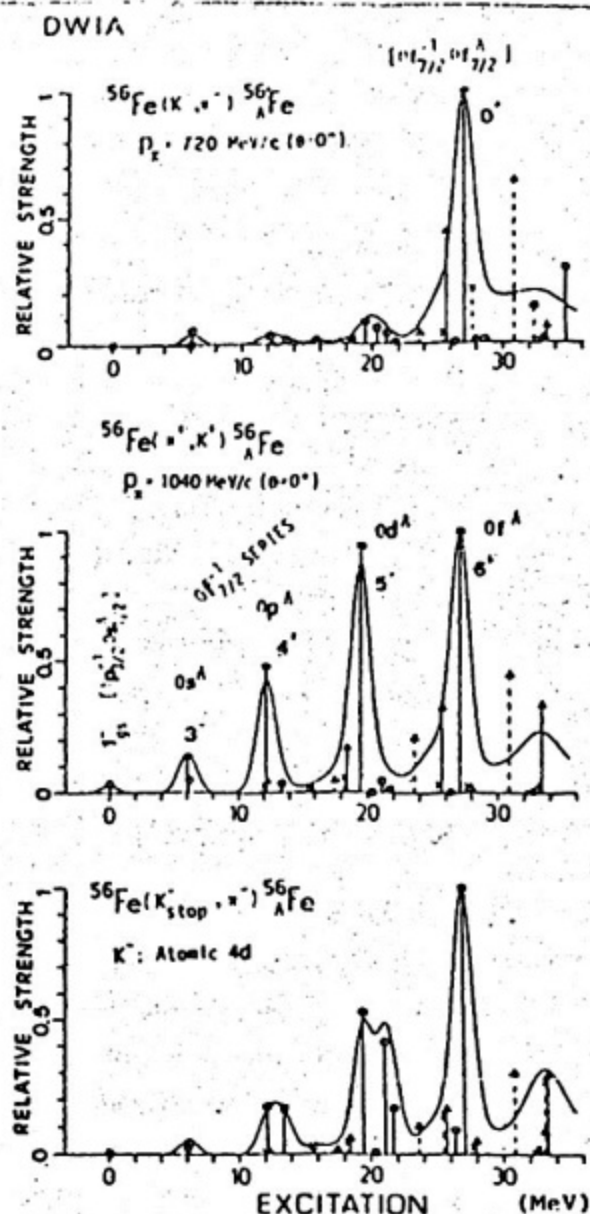


Рис. 7. Спектры возбуждения  $^{56}\text{Fe}$  в различных реакциях. Конфигурация ядра мишени  $^{56}\text{Fe} - [(0f_{7/2})^2 (1p_{3/2})^2]$

частица может "садиться" в самые глубокие заполненные оболочки ( $s, p, d$  и т.д.), то  $(\bar{\Lambda}^+, \pi^+)$ -реакции открывают возможность изучать одночастичные спектры  $\Lambda$ -гиперонов в ядре. Эксперименты в БНЛ (см. таблицу) полностью подтвердили эти соображения и позволили впервые получить  $A$ -зависимость энергий связи  $\Lambda$ -гиперона в  $0s$ ,  $0p$ ,  $0d$ -и  $0f$ -оболочках. Детальная оболочечная интерпретация этих данных представлена в работе [56].

Селективность возбуждения уровней гиперядра в  $(K^-, \pi^+)$ ,  $(\bar{\Lambda}^+, \pi^+)$ -и  $(K_{stop}^-, \pi^-)$ -реакциях иллюстрирует пример ядра-мишени  $^{56}\text{Fe}$  (рис. 7) [56]. Отличие спектра в случае с остановившимися мезонами от двух других реакций связано как с отличием в  $q$ , так и с тем, что в матричном элементе вместо  $\Gamma_{\rho_2}(r)$  присутствует периферическая волновая функция  $K^-$ -мезона, связанного на мезоатомной орбите  $4d$ .

Отметим также некоторые особенности пока не применявшимися в гиперядерной спектроскопии реакций  $(K^-, \pi^0)$ , кинема-

тически подобных ( $K^-, \pi^-$ ). Образование  $\Lambda$ -гиперона в них происходит на протонах мишени ( $K^- p \rightarrow \pi^0 \Lambda$ ), поэтому в ( $K^-, \pi^0$ )-реакциях образуются другие гиперядра —  $\Lambda^0$  ( $Z=1, N$ ), с зарядом на единицу меньше. Если в ( $K^-, \pi^-$ )-реакции на ядрах с изоспином  $T \neq 0$  возбуждаются состояния как с  $T < 0$ , так и с  $T > 0$ , то очевидно в ( $K^-, \pi^0$ )-реакции образуются состояния только с  $T > 0$ , т.е. этот процесс служит как бы изоспиновым фильтром. Для мишней с  $N=2$  ( $T = 0$ ), с точностью до малых эффектов нарушения изоспиновой симметрии, спектры гиперядер в реакциях ( $K^-, \pi^0$ ) будут одинаковы.

Однако распадные свойства уровней будут различны из-за различия пороговых энергий каналов распада. В гиперядрах I-оболочки ( $Z=1, N$ ) нейтронные пороги часто оказываются низкими, что может быть использовано для изучения структуры резонансов по спектрам нейтронов [57].

Новые аспекты в развитии спектроскопии гиперядер могут внести процессы электромагнитного рождения гиперядер — ( $\gamma, K^+$ ), ( $\gamma, K^+ \gamma'$ ) и ( $e, e' K^+$ ) [1, 47, 58, 59]. Поскольку элементарная амплитуда  $\gamma' p \rightarrow K^+ \Lambda$  существенно зависит от спина бариона, то должны быть весьма интенсивными переходы с переворотом спина. Вследствие довольно больших  $q \sim 270$  МэВ/с в этих процес-

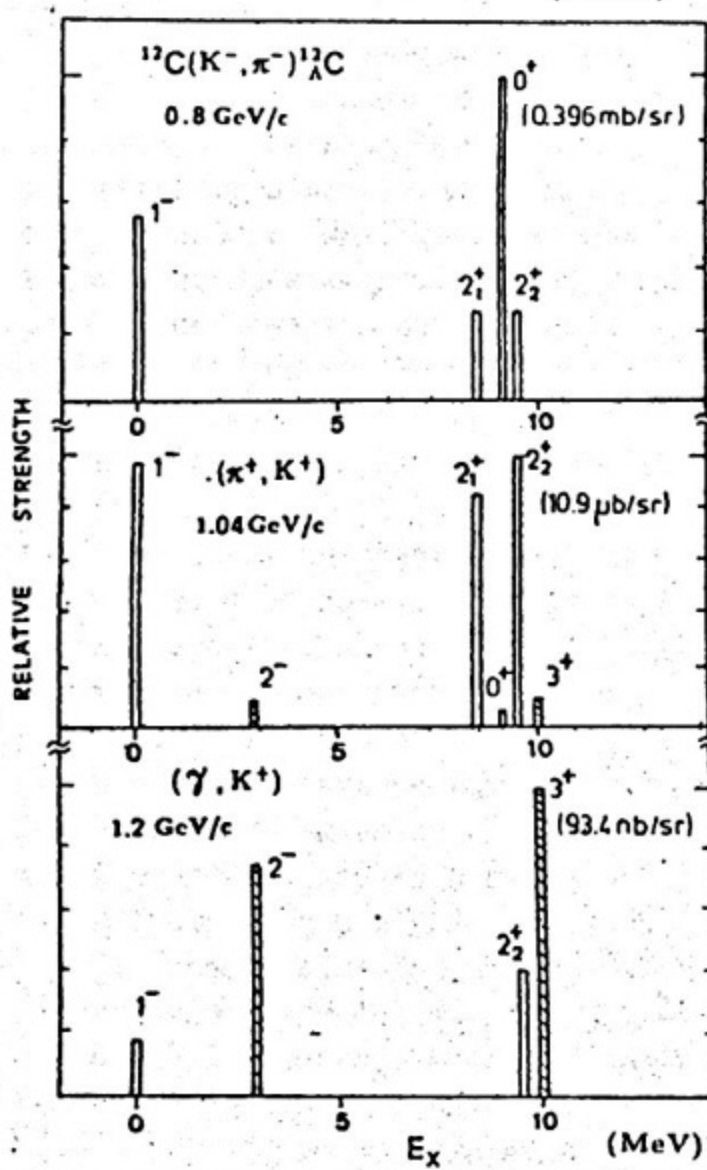


Рис. 8. Сечения и спектры возбуждения ядер ( $\Lambda$  ( $^{12}B$ )) в различных реакциях [1] в сравнении с ( $K^-, \pi^-$ ) более заметно возбуждаются низколежащие состояния ( $\Delta L > 0$ ), что благоприятно для исследования гиперядерных  $\gamma$ -переходов (рис. 8).

Реакции  $(\rho, \rho' K^+)$  ( $q \geq 300$  МэВ/с), однонуклонный процесс  $(pp \rightarrow K^+ \bar{p})$ , и особенно  $(p, K^+)$  ( $q \sim 1$  ГэВ/с, однонуклонные процессы —  $pp \rightarrow K^+ \bar{p}$  и  $p\bar{p} \rightarrow K^+ \bar{\Lambda}$ ) из-за больших  $q$  могут приводить к высокоспиновым состояниям гиперядра, причем в последней реакции в отличие от  $(\pi^+, K^+)$  сразу пара барионов — гиперон и нуклон могут попадать в различные оболочки. Сечения этих реакций оценивались [47, 48], но детальные расчеты спектров не проводились.

## 2. СПЕКТРЫ ГИПЕРЯДЕР И $\Lambda N$ - , $\Lambda\bar{N}$ -ВЗАЙМОДЕЙСТВИИ

В этом разделе, опираясь на экспериментальную информацию о возбужденных гиперядерных уровнях, будет дано освещение наиболее важных результатов, касающихся  $\Lambda N$ - и  $\Lambda\bar{N}$ -взаимодействий в гиперядрах. Попутно сопоставим качество описания спектров в различных подходах и отметим заслуживающие, на наш взгляд, предложения по дальнейшим экспериментам.

### 2.1. Связанные состояния

Из  $s$ -оболочечных гиперядер ( $A = 3, 4$ ) только у  $^4_{\Lambda}N(^4_{\Lambda}He)$  обнаружен единственный уровень  $I^+$  ( $E^+ \sim 1$  МэВ) (другие не ожидаются) в реакциях  $^{6,7}_{\Lambda}Li$  ( $K_{Stop}, \pi^+$ ) [10–13]. Описание легчайших гиперядер проводится обычно с использованием потенциалов свободного

$\Lambda N$ -взаимодействия со связью  $\Lambda, \Sigma$ -каналов либо вариационными, либо точными методами (см., например, [60, 61]). Спектроскопия гиперядер  $1p$ -оболочки и более тяжелых намного богаче, и мы уделим основное внимание этим гиперядрам.

Данные об уровнях  $^7_{\Lambda}Li(5/2)$  и  $^9Be(5/2, 7/2)$  получены в  $(K^-, \pi^+)$ -реакции с высокой точностью — 20–40 кэВ. Результаты для  $^7_{\Lambda}Li$  из  $(K_{Stop}, \pi^+)$ -процесса менее надежны [62].

Вообще говоря, одна из центральных проблем связанных состояний и в обычных ядрах и в гиперядрах — это задача прецизионного описания энергий уровней и определение эффективного  $\Lambda N(N\bar{N})$ -взаимодействия. В спектроскопии легких ядер, где данных достаточно много, она успешно решается в модели оболочек с промежуточной связью поиском в заданном базисе  $\{3^4p^2\alpha: J\Gamma\}$  (по известным энергиям уровней [63]), матричных элементов  $NN$ -взаимодействия, число которых достигает более десятка [64–66]. В работах [67, 68] аналогичная задача по определению потенциальных пара-

метров (III)  $AN$ -взаимодействия сформулирована и для гиперядер с низшей оболочечной конфигурацией  $\{s^4p^n, \alpha \otimes s_A : JT\}$ . Эта задача оказалась даже проще ядерной, так как нуклон-нуклонные ПП, определяющие свойства ядерной подсистемы, считаются уже известными, а число двухчастичных гиперон-нуклонных ПП равно пяти:

$$^{2s+1}\mathcal{P} = -\langle s_A p : ^{2s+1}p_J | V_{AN} | s_A p : ^{2s+1}p_J \rangle (s=0,1; J=0,1,2), \mathcal{P} = -\langle s_A p : ^3p_J | V_{AN} | s_A p : ^1p_J \rangle.$$

Важным шагом для физически наглядной интерпретации зависимости спектров от оболочечных матричных элементов является сделанный в [67] переход от выписанных выше ПП к другим ПП – радиальным матричным элементам отдельных частей  $AN$ -потенциала:

$$V_{AN} = \bar{V}(r) + V_d(r)s_A s_N + V_s(r)s_A l_{AN} + V_N(r)s_N l_{AN} + V_T(r)s_{12}, \quad (5)$$

где  $s_{12} = 3(s_A, \hat{r})(s_N, \hat{r}) - (s_A s_N)$ . Параметры  $\bar{V}$ ,  $V_d$ ,  $s_A$ ,  $s_N$  и  $T$  связаны с величинами  $^{2s+1}\mathcal{P}_J$  и  $\mathcal{P}$  простыми линейными соотношениями. Вид потенциала (5) мотивирован формой  $AN$ -потенциала однобозонного обмена [69]. В отличие от  $NN$ -взаимодействия  $AN$ -потенциал включает, кроме симметричной по спинам части,  $LS$ -взаимодействия  $-V_s(r)(s_A + s_N)l_{AN}$ , еще и антисимметричную компоненту  $-V_N(r)(s_A - s_N)l_{AN}$  (обмен  $\omega$ -,  $\delta$ -,  $K^*$ -,  $\phi$ -мезонами), что и приводит к форме (5). Главное преимущество последней параметризации в том, что спектр гиперядерных уровней зависит только от четырех параметров –  $A$ ,  $s_A$ ,  $s_N$  и  $T$ , величина  $\bar{V}$  дает лишь общий сдвиг спектра, энергии дублетных расщеплений  $E(J = J_N \pm 1/2)$  зависят преимущественно от  $A$ ,  $s_A$  и  $T$ , а  $s_N$  влияет на сдвиг дублетов относительно друг друга. Параметр  $s_N$  эффективно учитывает и вклад независимых от  $s_A$   $NN$ -сил двухлонгунного обмена [67]. Кроме того, расщепления некоторых дублетных состояний, например,  $\{^7Li ; ^6Li ( ^3S_1, ^1P_{0,c}) \oplus s_A : J = \frac{1}{2}, \frac{3}{2} \}$  и  $\{^9Be ; ^8Be ( ^3D, ^1P) \oplus s_A : J = \frac{3}{2}, \frac{5}{2} \}$  зависят только от  $A$  и  $s_A$  соответственно.

Не останавливаясь на ранних исследованиях [67], в которых не удалось получить реалистических ПП из данных по  $B_A$  (предсказания теории противоречили открытym в  $^7Li$  и  $^9Be$   $\gamma$ -линням [13]), отметим, что позднее в [68] был предложен стандартный набор ( $st$ ) ПП (в МэВ) для ядерных функций Коэн-Курата. Он был определен по положению  $I^+$ -уровня в  $^4He$  ( $E^* \sim 1$  МэВ) –  $A = 0,5$ , по данным [21] об  $LS$ -расщеплении  $\epsilon_p^A(p_{1/2}, p_{3/2}) = 0,36 \pm$

$\pm 0,3$  МэВ в  $^{13}_{\Lambda}C$  и дублетному расщеплению  $\Delta E(^{9}_{\Lambda}Be; \frac{1}{2}^+, \frac{5}{2}^+)$   $< 100$  кэВ —  $s_{\Lambda} = -0,04$  и, исходя из свойств свободного  $\Lambda p$ -взаимодействия [69] —  $s_N = -0,08$ ,  $T = 0,04$ . С этими ПП неплохо воспроизводятся наблюдаемые  $\gamma$ -линии в  $^7Li$  и в  $^{10}_{\Lambda}Be$ . Однако последние эксперименты в БИЛ [70, 71, 38] по поиску в ( $K^-, \pi^- \gamma$ )-реакциях ожидаемых  $\gamma$ -линий от дублетов основных состояний  $^{10}_{\Lambda}B$  ( $2^-, 1^+_0$ ;  $E_{\text{теор.}} \sim 160$  кэВ) и  $^{16}_\Lambda O$  ( $1^-, 0^+_0$ ;  $E_{\text{теор.}} \sim 80$  кэВ) [68] не обнаружили таких  $\gamma$ -переходов. Там же сделан вывод, что эти дублетные расщепления не превышают  $80 + 100$  кэВ, и вопрос о приемлемых для гиперядер  $\Lambda p$ -оболочки ПП вновь оказался открытым.

В связи с этими трудностями теории в работе [72] был принят другой способ выбора ПП, приближенный к принятому в спектроскопии легких ядер — определение ПП по спектрам [64–66]. Его реализация облегчалась тем, что, как показали расчеты [68, 72], энергии уровней линейно зависят от ПП ( $E_i = a_i + b_i \Delta + c_i s_{\Lambda} + d_i s_N + e_i T$ ) в широких интервалах изменения ПП в окрестности ПП ( $\delta T$ ). При выборе ПП использовались экспериментальные ограничения на энергию уровней: 1)  $\Delta E(^{10}_{\Lambda}B; 2^-, 1^+_0) \leq 100$  кэВ,  $\Delta E(^{16}_\Lambda O; 1^-, 0^+_0) \leq 100$  кэВ; 2)  $\Delta E(^{9}_{\Lambda}Be; \frac{1}{2}^+, \frac{5}{2}^+) \leq 100$  кэВ, 3)  $E(^7Li; \frac{5}{2}^+) = 2,034 \pm 0,023$  МэВ; 5)  $\Delta E(^{12}_{\Lambda}B; 2^-, 1^+_0) > 0$ , а также приемлемые интервалы  $0,03 \leq T \leq 0,04$ ,  $-0,17 \leq s_{\Lambda} \leq -0,018$ , найденные в [68]. При этих условиях в [72] получен оптимальный набор ПП ( $S_G$ ) с ядерными волновыми функциями Баркера [65] ( $6 \leq A \leq 9$ ) и Коэна-Курата [64] ( $10 \leq A \leq 14$ ):

$$\Delta \approx 0,3, \quad s_{\Lambda} \approx -0,02, \quad s_N \approx -0,1 \quad (\text{для } ^7Li, \quad S_N \approx -0,35), \quad T \approx 0,02, \quad (6)$$

описывающий экспериментальные данные. Для варианта (6) характерно уменьшенное значение  $\Delta$ , что коррелирует с известной слабой спиновой зависимостью  $\Lambda p$ -взаимодействия [6] и наблюдением [60], что только часть (2/3) расщепления  $\Delta E(^4He; 1^+, 0^+_0)$  объясняется за счет  $V_d$ . Увеличение  $s_N$  в  $^7Li$ , по-видимому, связано с кластерной структурой ядра-острова  $^6Li$  [72]. На рис. 9а, б показаны спектры гиперядер  $\Lambda p$ -оболочки ( $^{13}_{\Lambda}(Z, N-1)$ ), вычисленные с ПП (6) и  $N_{\text{сп}}$  для не спин-флиповых (НОФ) и спин-флиповых (СФ) переходов. Большой интерес для проверки теории могут представить поиски новых  $\gamma$ -линий от девозбуждения уровней  $^7Li(\frac{3}{2}^+, \frac{5}{2}^+)$ ,  $^{13}C(\frac{3}{2}^+, \frac{5}{2}^+)$  и  $^{16}_\Lambda O(1^-, 2^+)$ . Из-за большого числа переходов  $\gamma$ -линии от  $^{11}B$ ,  $^{15}N$  будет труднее иден-

|                 | 0                                       | 2                                       | 4                                       | 6                                       | $E, \text{МэВ}$                         |
|-----------------|---|---|---|---|---|
| $^7\text{Li}$   | $\frac{1}{2}^+$                         | $\frac{3}{2}^+$                         | $\frac{5}{2}^+$                         | $\frac{7}{2}^+$                         | $\frac{1}{2}^+$                         |
|                 |   |   |   |   | $\rightarrow NSF, N_{eff}^n$            |
|                 |   |   |   |   | $\rightarrow E_i, J^\pi$                |
|                 |   |   |   |   | $\rightarrow SF, N_{eff}^n$             |
| $^9\text{Be}$   | $\frac{1}{2}^+$                         |   | $\frac{5}{2}^+ \parallel \frac{3}{2}^+$ |   |   |
|                 |   |   |   |   |   |
| $^{10}\text{B}$ |   | $1^- \parallel 2^-$                     |   |   |   |
|                 |   |   |   |   |   |
| $^{11}\text{B}$ | $\frac{5}{2}^+ \parallel \frac{3}{2}^+$ | $\frac{1}{2}^+ \parallel \frac{1}{2}^+$ | $\frac{1}{2}^+ \parallel \frac{3}{2}^+$ | $\frac{3}{2}^+ \parallel \frac{5}{2}^+$ | $\frac{5}{2}^+ \parallel \frac{5}{2}^+$ |
|                 |   |   |   |   |   |
| $^{12}\text{C}$ |   | $1^- \parallel 2^-$                     | $0^- \parallel 1^-$                     | $2^- \parallel 3^-$                     | $2^- \parallel 1^-$                     |
|                 |   |   |   |   |   |

a

|                 | 0                                       | 2                   | 4               | 6                                       | 8                                       | 10                                      | 12 | 15              | 16                                      | $E, \text{МэВ}$                          |
|-----------------|---|---------------------|-----------------|---|---|---|----|-----------------|---|--|
| $^{13}\text{C}$ | $\frac{1}{2}^+$                         |                     |                 | $\frac{3}{2}^+ \parallel \frac{5}{2}^+$ |   |   |    | $\frac{1}{2}^+$ | $\frac{1}{2}^+ \parallel \frac{3}{2}^+$ |  |
|                 |   |                     |                 |   |   |   |    |                 |   | $\frac{3}{2}^+ \parallel \frac{15}{2}^+$ |
| $^{14}\text{N}$ |   | $0^- \parallel 1^-$ |                 |   |   |   |    |                 |   |  |
|                 |   |                     |                 |   |   |   |    |                 |   |  |
| $^{15}\text{N}$ | $\frac{3}{2}^+ \parallel \frac{1}{2}^+$ | $\frac{1}{2}^+$     | $\frac{1}{2}^+$ | $\frac{3}{2}^+$                         | $\frac{3}{2}^+ \parallel \frac{5}{2}^+$ | $\frac{3}{2}^+ \parallel \frac{5}{2}^+$ |    |                 |   |  |
|                 |   |                     |                 |   |   |   |    |                 |   |  |
| $^{16}\text{O}$ |   | $0^- \parallel 1^-$ |                 |   | $1^- \parallel 2^-$                     |   |    |                 |   |  |
|                 |   |                     |                 |   |   |   |    |                 |   |  |

δ

Рис.9. Спектры связанных состояний гиперядер Iр-оболочки и эффективные числанейтронов для не спин-флиповых ( $\Pi^N$ ) (а) и спин-флиповых ( $O^N$ ) (б) возбуждений [72]

тифицировать. Спектр  $\gamma$ -квантов от гиперядер  $\chi(z-1, N)$  (реакции  $(\gamma, K^+ \gamma')$ ,  $(K^-, \pi^0 \gamma)$ ) ожидается более богатым [72].

В ряде работ по кластерной (КМ) [39, 73] и оболочечной модели (ОМ) [74, 76] матричные элементы (ПП) рассчитывались с центральными  $M$ -потенциалами. В работах [73, 74] (КМ) вычислялись спектры  $^6_{\Lambda}He$  (структура  $-\alpha + n + \Lambda$ ),  $^7_{\Lambda}Li$  ( $\alpha + d + \Lambda$ ),  $^8_{\Lambda}Li$  ( $\alpha + t + \Lambda$ ),  $^9_{\Lambda}Be$  ( $\alpha + \alpha + \Lambda$ ) с двумя типами  $M$ -потенциалов — ORG (согласован с  $B_{\Lambda}$  ( $^5_{\Lambda}He$ )) [39]:

$$V_{MN}(r) = V_{MN}^0 (1 + \eta \sigma_N) \exp(-r^2/\beta^2), \quad (7)$$

$V_{MN}^0 = -38,19$  МэВ,  $\beta = 1,034$  фм ( $2\alpha$ -обмен),  $\eta = -0,1$  [36, 54] и  $YNG$  (получен методом  $\delta$ -матрицы по  $M$ -взаимодействию [69] — модель  $D$ ), учитывает зависимость от плотности, скорректирован по  $\Delta E(^4_{\Lambda}He; 1^+, 0^+)$  [39]:

$$V_{MN}(r) = V_{MN}^C + V_{MN}^{B\sigma} \delta_{\Lambda} \sigma_N;$$

$$V_{MN}^C = \sum_{i=1}^3 (V_D^T(i) + V_{EX}^T(i) p_i) \exp(-r^2/\beta_i^2), \quad (\beta = C, 66). \quad (8)$$

В расчетах спектров [75] (ОМ, ядерные функции [66]) единственный параметр  $\Delta$  вычислялся с  $M$ -потенциалом (две гауссоиды), интенсивность которого подбрана по неподтвержденной другими опытами  $\gamma$ -линии (0,79 МэВ) в  $^7_{\Lambda}Li$  [16]. В работе [74] (ОМ, ядерные функции [64]) параметр  $\Delta$  вычислялся с осцилляторными функциями ( $\hbar\omega_{osc} = 4I/\Lambda^{1/3}$ ) и  $M$ -потенциалом (8).

Рис. 10 (пример спектра  $^7_{\Lambda}Li$ ) иллюстрирует различие результатов работ [72, 73, 75]. Спектры, полученные в [72] и [73, 75],

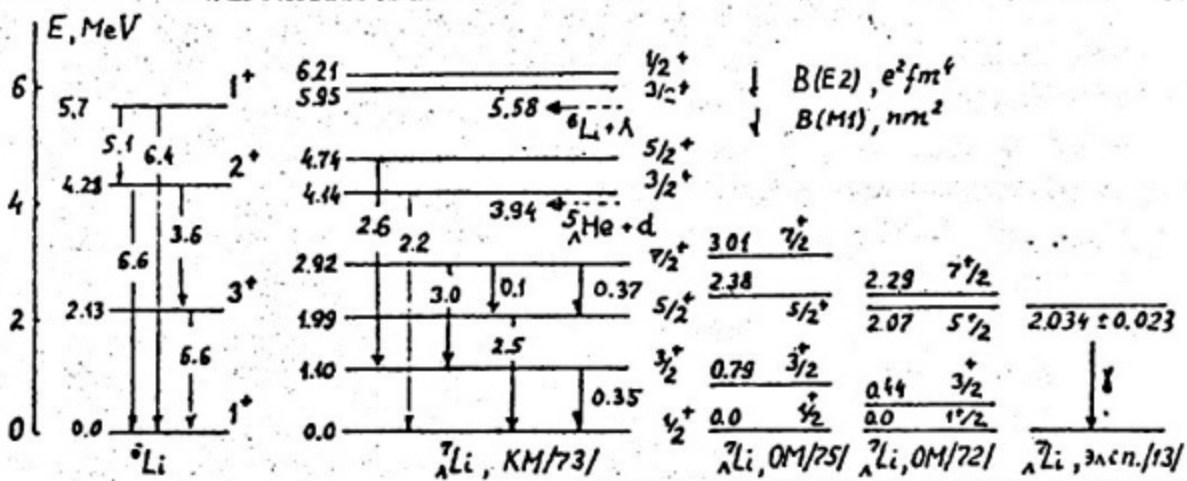


Рис. 10. Сравнение низколежащих спектров  $^7_{\Lambda}Li$ , предсказываемых в кластерной (КМ) и оболочечной моделях (ОМ)

можно сблизить, если ослабить спиновую зависимость  $\Lambda N$ -потенциалов [73, 75]. Отметим, что анализ [76] спектров  $^{12}_{\Lambda}C$ ,  $^{16}_{\Lambda}O$ ,  $^{32}_{\Lambda}S$ ,  $^{40}_{\Lambda}Ca$  в ( $K^-$ ,  $\pi^-$ )-реакциях замещения дает  $\eta = -0,05 \pm 0,1$ . На необходимость корректировки  $\Lambda N$ -потенциалов указывают и слишком большие дублетные расщепления основного состояния  $^{10}_{\Lambda}B$  – 160 кэВ [74] и 240 кэВ [75].

Немалый интерес в спектроскопии гиперядер представляют связанные состояния с  $\Lambda$ -гипероном в более высоких оболочках. К этому вопросу мы вернемся в последующих разделах.

## 2.2. Резонансы в непрерывном спектре

Исследования гиперядерных резонансов в континууме, главным образом в ( $K^-$ ,  $\pi^-$ )-реакциях замещения на ядрах I<sub>p</sub>-оболочки, дали ценную информацию о  $\Lambda\Lambda$ - и  $\Lambda N$ -взаимодействиях. Гросс-структура спектров ( $\Delta L=0$ ,  $Np_J \rightarrow Np_J$ ,  $N^3_{1/2} \rightarrow N^5_{1/2}$ ) (рис.10) описывается в пределе слабой связи ( $V_{NN} = 0$ ), при этом энергия гиперядра определяется энергией ядра-остова, образующегося при отделении нейтрана, а интенсивность резонанса – соответствующим спектроскопическим фактором  $CS^2$  [77, 78]. Включение  $V_{NN}$  смешивает базисные состояния, что отражается существенно на барионных ширинах, изменяет интенсивности возбуждений (особенно низких пиков в  $^{9}_{\Lambda}Be$ ,  $^{13}_{\Lambda}C$ ) и смешает энергии резонансов [78, 79].

С целью получения информации о спин-орбитальном  $\Lambda\Lambda$ - и  $\Lambda N$ -потенциалае (спин-орбитальном расщеплении  $\epsilon_p$  для  $\Lambda$ -гиперона) были детально проанализированы ( $D_{WIL}$ ) полученные в ( $K^-$ ,  $\pi^-$ )-реакциях спектры  $^{12}_{\Lambda}C$ ,  $^{16}_{\Lambda}O$ ,  $^{32}_{\Lambda}S$ ,  $^{40}_{\Lambda}Ca$  (эксперимент ЦЕРНа – [14, 20]  $p_K \sim 720$  МэВ/с,  $\theta_\pi \sim 0^\circ$ ; теория – ОМ [76], приближение заполненных оболочек) и  $^{13}_{\Lambda}C$  (эксперимент БНЛ – [21],  $p_K \sim 800$  МэВ/с,  $\theta_\pi < 20^\circ$ ; теория – ОМ [80]), смешивание базисных функций слабой связи).

Результат работы [76] для  $\Lambda\Lambda$ -потенциала – его центральной части (потенциал Вудса-Саксона),  $(l_\Lambda, s_\Lambda)$ -части томасовского типа и  $V_{\Lambda N}$ -потенциала нулевого радиуса, следующие ( $u_\Lambda^c$ ,  $u_\Lambda^{LS}$  – и  $\eta$ -подгоночные параметры, обеспечивающие наилучшее описание спектров):

$$V_{\Lambda\Lambda} = -u_\Lambda^c \cdot f(r) + u_\Lambda^{LS} \frac{\hbar^2}{m_\Lambda c} \frac{1}{r} \frac{df}{dr} (l_\Lambda, s_\Lambda),$$

$$f(r) = (1 + \exp(\frac{r-R}{a}))^{-1}, R = r_0 \cdot 10^{1/3}, r_0 = 1.1 \text{ фм}, a = 0.6 \text{ фм}; \quad (9)$$

$$V_{AN} = v_0 \delta(r_A - r_N) (1 + \eta \beta_A \beta_N), u_A^C = v_0 \int_0^\infty f(r) r^2 dr, \quad (10)$$

$$u_A^C = (32 \pm 2) \text{ МэВ}, u_A^{LS} = 4 \pm 2 \text{ МэВ}, \eta = -0.05 \pm 0.1.$$

Параметры (10) резко отличаются от аналогичных параметров  $\Lambda N$ -потенциала:

$$u_N^C = 50 \text{ МэВ}; u_N^{LS} = 20 \text{ МэВ и } \eta_N = 0.3. \quad (II)$$

Уточняющий анализ отношения интенсивностей и расщепления  $E$  двух главных пиков (I,2) в  $^{16}\text{O}$ <sup>x</sup> [54] дал (с  $V_{AN} = v_0 \delta(r_A - r_N) (1 - \epsilon + \epsilon P_r)$ ,  $\epsilon = 0.25$  и другими  $V_{AN}$ ) для спин-орбитального расщепления  $\{p_j^+ p_j^- : 0^+\}$  ( $j = \frac{1}{2}, \frac{3}{2}$ ) – состояний  $\Delta E = 5.4 \pm 0.7$  МэВ и соответственно  $u_A^{LS} = 2 \pm 2$  МэВ. Хотя неопределенность в  $u_A^{LS}$  все еще велика, сам факт малости  $u_A^{LS}/u_N^{LS}$  является ярким результатом спектроскопии гиперядер.

$\Lambda N$ -взаимодействие вида

$$V_{AN} = -V(r)(1 - \epsilon + \epsilon P_r)(1 + \eta \beta_A \beta_N) + v_\pm(r)(\beta_A \pm \beta_N) l_{AN}. \quad (I2)$$

и спин-орбитальное расщепление  $\epsilon_P$  изучалось в [80] по данным для  $^{13}\text{C}$  [21] в терминах интегралов Слэттера

$$F^{(k)} = \int R_A^2(r_A) R_N^2(r_N) V_k(r_A, r_N) r_A^2 r_N^2 dr_A dr_N, \quad k=0,2, \quad (I3)$$

где  $R_{A(N)}$  – радиальные волновые функции,  $V_k$  – компонента  $V$  в разложении по полиномам Лежандра. С ядерными функциями  $^{12}\text{C}$  [64] анализировались расщепления резонансов при  $E^x \sim 10, 16$  и  $25$  МэВ (I,2,3 на рис.II) и  $\theta_{\pi} = 0^\circ$  ( $\Delta L = 0$ ) и  $15^\circ$  ( $\Delta L = 1-3$ ) с зафиксированными  $F^{(0)} = -1,16$  МэВ и  $\eta = -0,1$  [81], полагая  $F^{(2)}$ ,  $\epsilon_P$  и  $\epsilon$  свободными параметрами. С  $\epsilon \sim 0$  для  $F^{(2)}$  получается интервал  $-3,4 < F^{(2)} < -3$  (МэВ). Наблюдаемое при  $V_{AN} = 0$  (рис.II) сильное отклонение отношения интенсивностей пиков 2 и 1 ( $\rho \approx 1,8$  от  $\rho_{\text{эксп.}} \approx 6 \pm 7$ ) объясняется влиянием  $\Lambda N$ -сил. Здесь мы сталкиваемся с ярким примером запрета на возбуждение доминирующей в резонансе I суперсимметричной компоненты волновой функции  $^{13}\text{C}$ .

\*Наблюдение равенства  $\Delta E (3,4) \approx \Delta E (1,2) \approx 6$  МэВ (I+4 – пики в спектре  $^{16}\text{O}$ ; в резонансах 3,4 – гиперон в  $s$ -оболочке, в резонансах I,2 – гиперон в  $p$ -оболочке, рис.II), показывающего совпадение  $\Delta E$  с дырочными уровнями  $p_{3/2}^{1/2} p_{3/2}^{1/2}$  в  $^{16}\text{O}$ , уже само по себе служит указанием на малость  $u_A^{LS}$ .

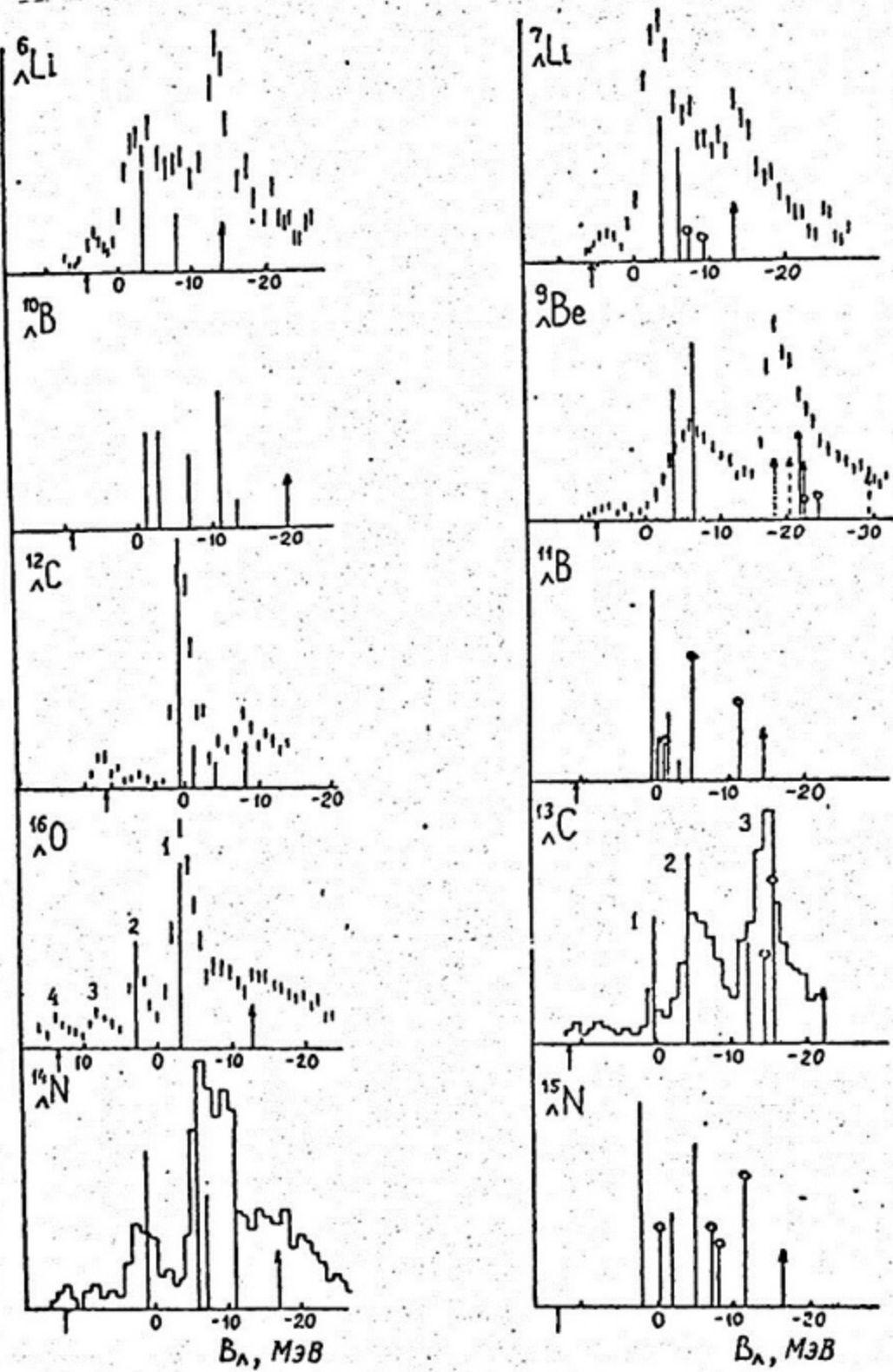


Рис. II. Гросс-структура спектров в ( $K^-$ ,  $p^-$ )-реакции ( $\theta_{\pi} = 0^0$ ) в пределе слабой связи ( $V_M = 0$ ) [77], ссылки на экспериментальные данные — в таблице

со схемой Юнга  $[f] = [54]$ . Принцип Паули запрещает  $[f] = [5]$  для нуклонов ( $[f_{max}] = [4]$ ), но допускает ее для системы, состоящей из гиперона и нуклонов [82]. Потенциал  $V_{\Lambda N}(\theta_\Lambda)$  смешивает состояния с разными  $[f]$ :  $\alpha \cdot |^1_1 S, [54]; \frac{1}{2}_1^- > - \beta \cdot |^3_1 C, [44I]; \frac{1}{2}_2^- >$ . Так как для мышени  $^{13}C[f] = [44I]$ , то резонанс I возбуждается только за счет второй компоненты (ее амплитуда  $\beta < \alpha$ ), преобладающей в резонансе 2, поэтому интенсивность резонанса I уменьшается, и при  $\epsilon \approx 0$  получается  $\varphi \approx \varphi_{\text{эксп.}}$ . Значения  $\epsilon > 0$  (например, для сил Сербера  $\epsilon = 0,25$ ) неприемлемы, потому что тогда  $\varphi \gg \varphi_{\text{эксп.}}$ . При  $\theta_\pi \approx 15^\circ$  энергия резонанса I слегка понижается за счет вклада состояния  $|^1_1 C(0^+) \epsilon P_{3/2} >$ , что дает  $\epsilon_p = 0,36 \pm 0,3$  МэВ [21]. Близкая величина  $\epsilon_p \approx 0,5$  МэВ ( $u_A^{LS} \approx 1,8$  МэВ) получается в расчетах [80]. Таким образом, эксперимент на  $^{13}C$  дал еще одно доказательство малости спин-орбитального АЛ-взаимодействия и ограничения на параметры  $V_{\Lambda N}$  в  $\Lambda p$ -оболочке. Отметим, что в простой кварковой модели  $-f = u_A^{LS}/u_N^{LS} = 0$  [83], а в мезонной теории (ОВЕР)  $-f \leq f \leq 1/3$  [84].

Со стандартным набором параметров взаимодействия  $\Lambda$ -гиперона и нуклона в  $\Lambda p$ -оболочке (12)

$$F^{(2)} = -3,2 \text{ МэВ}, \epsilon = 0, \epsilon_p = 0,5 \text{ МэВ} (u_p = 0); F^{(0)} = -1,16 \text{ МэВ}, \eta = -0,1 \quad (14)$$

хорошо воспроизводятся особенности спектров возбуждения (рис. II) [78] ( $^{9}_{\Lambda} Be, ^{12}_{\Lambda} C, ^{14}_{\Lambda} N, ^{16}_{\Lambda} O$ ), [79] ( $^{7}_{\Lambda} Li, ^{9}_{\Lambda} Be, ^{10}_{\Lambda} B, ^{12}_{\Lambda} C, ^{14,15}_{\Lambda} N, ^{16}_{\Lambda} O$ ). И все же, несмотря на успех (в пределах точности эксперимента), выбор в [80]  $\epsilon = f(F^{(2)}/F^{(0)}, \eta) = 0$  и  $\eta = -0,1$  вызывает сомнения. Дело в том, что принятое значение  $\eta$  близко к значению, объясняющему расщепление ( $I^+, 0^+$ )-уровней в  $^4_{\Lambda} H(^{4}_{\Lambda} He)$  только за счет спин-спинового ( $\sigma_\Lambda, \sigma_N$ )-взаимодействия [12], чем к  $\eta \approx -0,05$ , полученному из  $\Lambda p$ -рассеяния [85, 36] и анализа спектра возбуждения  $^{12}_{\Lambda} C, ^{16}_{\Lambda} O, ^{32}_{\Lambda} S, ^{40}_{\Lambda} Ca$  [76]. Напомним (разд. 2.1), что аналогичная мотивировка выбора интенсивности ( $\sigma_\Lambda \sigma_N$ )-взаимодействия дает завышенное  $\Delta$  для связанных состояний гиперядер ( $\Lambda$ -гиперона в  $s$ -оболочке), т.е. кажется предпочтительным в  $\Lambda N$ -потенциале ориентироваться на меньшие величины  $|\eta|$ . Отметим также, что  $\epsilon = 0$  (при  $\eta = -0,1$ ) плохо соотносится с серберовским обменом ( $\epsilon = 0,25$ ), установленным по данным  $\Lambda p$ -рассеяния. Так как  $\epsilon$ ,  $\eta$  и  $F^{(2)}/F^{(0)}$  взаимосвязаны интенсивностями и расщеплениями резонансов, то было бы интересно, располагая более точными данными о резонансах в  $^{13}C$  и других гиперядрах, уточнить эти параметры и более определенно

выявить степень согласованности  $\Lambda\Lambda$ -взаимодействия, используемого в ОМ для связанных (гиперон в  $s$ -оболочке) и резонансных (гиперон в  $Pr$ -оболочке) состояний.

С  $\Lambda\Lambda$ -потенциалом  $YNG$  (8), различающимся по форме и интенсивности в четных и нечетных состояниях и, как отмечалось выше, нуждающимся в коррекции спиновой зависимости, также получается (в пределах точности эксперимента) в рамках ОМ [74] и КМ [86] хорошее описание резонансов в  $^{10}_{\Lambda}Be$ ,  $^{12}_{\Lambda}B$ ,  $^{12}_{\Lambda}C$ ,  $^{14}_{\Lambda}N$  (ОМ) и в  $^{6,7}_{\Lambda}Li$ ,  $^{9}_{\Lambda}Be$  (КМ), наблюдавшихся в ( $K^-, \pi^-$ )- и ( $\pi^+, K^+$ )-реакциях.

Несколько необычное свойство потенциала  $YNG$  (8) становится заметным в гиперядрах ( $2s$ ,  $1d$ )-оболочки. Оно связано с проявлением в спектрах гиперядер отталкивателяного характера потенциала в состояниях  $\{j_\Lambda, j_N : J=0\}$  (антиспаривание), отражающего наличие отталкивателяного кора в свободном  $\Lambda\Lambda$ -взаимодействии [39, 69]. В отличие от  $\Lambda\Lambda$ -сил ( $YNG$ ) аналогичные матричные элементы  $\Lambda\Lambda$ -взаимодействия соответствуют притяжению [67] (рис. I2, а; I2, б). На этот эффект возможно имеется указание в реакции  $^{18}_\Lambda O (K^-, \pi^-) ^{18}_\Lambda O$  [21] (рис. I3), где заметно возбуждение  $0^+$ -уровней ( $g$  и  $f$ ). Ожидаемое отношение  $\gamma = N_{\text{эф}}^n(g)/N_{\text{эф}}^n(f) \approx 0,4$  (отталкивателное спаривание), но  $\gamma < 0,1$  в случае притяжения. Для выяснения вопроса: с антиспариванием интересно было бы сравнить спектры  $^{18}_\Lambda O$  в ( $K^-, \pi^-$ )- и ( $\pi^+, K^+$ )-реакциях с высоким разрешением (рис. I4). Сильный резонанс  $4^+$  должен быть примерно на 1 МэВ ниже  $0^+$ -уровня ( $f$ ). Важные следствия тринплетного спаривания нуклонов для коллективных движений в физике ядра обсуждаются в работе [89].

Большинство гиперядерных резонансов замещения, наблюдавшихся в ( $K^-, \pi^-$ )-реакциях, расположены в непрерывном спектре. Они распадаются с испусканием барионов и кластеров. Исключение составляют нижние уровни ( $E^* \approx 1\hbar\omega \approx 10$  МэВ) с  $\Lambda$ -гипероном в  $Pr$ -оболочке в  $^{13}_{\Lambda}C (0^+ \otimes \Lambda p)$  [80],  $^{12}_{\Lambda}B (\rho^- \Lambda p)$  [29] и, возможно, в  $^{12}_{\Lambda}C (\rho^- \Lambda p)$  [24] и  $^{16}_{\Lambda}N (\rho^- \Lambda p)$  [77]. Возбуждение этих состояний снимается за счет дипольного  $\gamma$ -перехода  $\Lambda p \rightarrow \Lambda s_{1/2}$  ( $E_\gamma \approx 10$  МэВ). Обнаружение таких  $\gamma$ -линий даст возможность более точно определить параметр спин-орбитального взаимодействия  $\alpha_{\Lambda}^{Ls}$  и  $Ls$ -расщепления  $\epsilon_p$ .

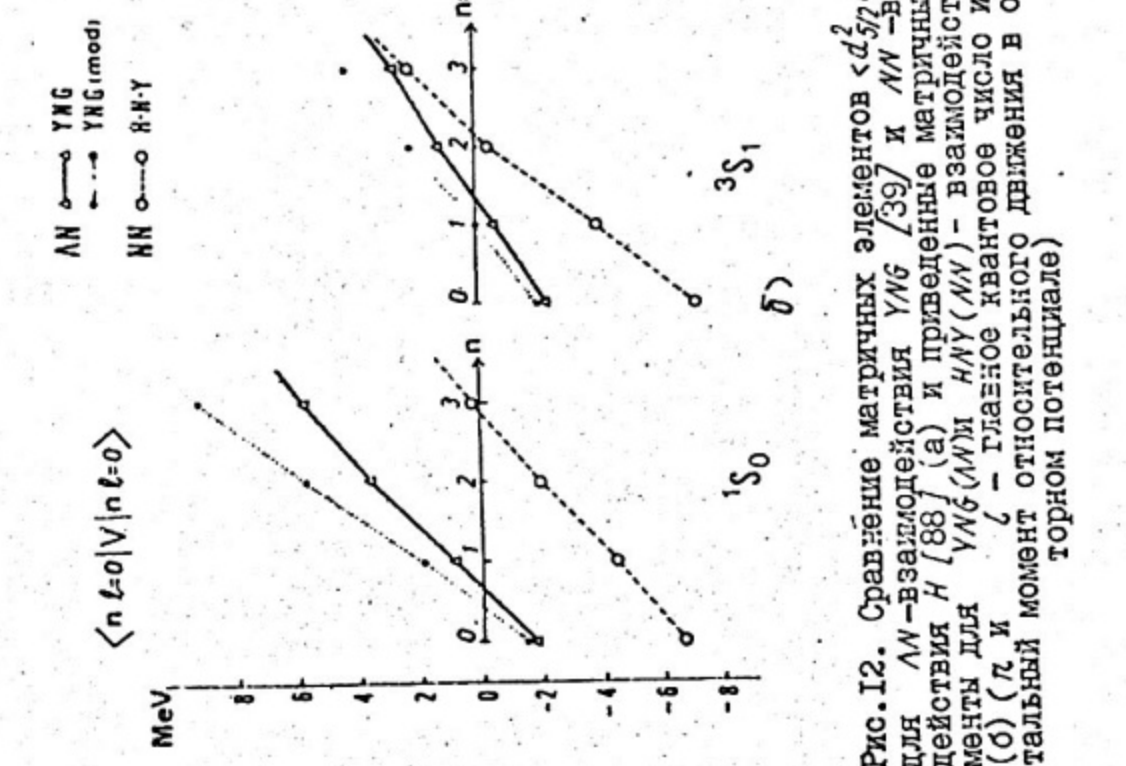
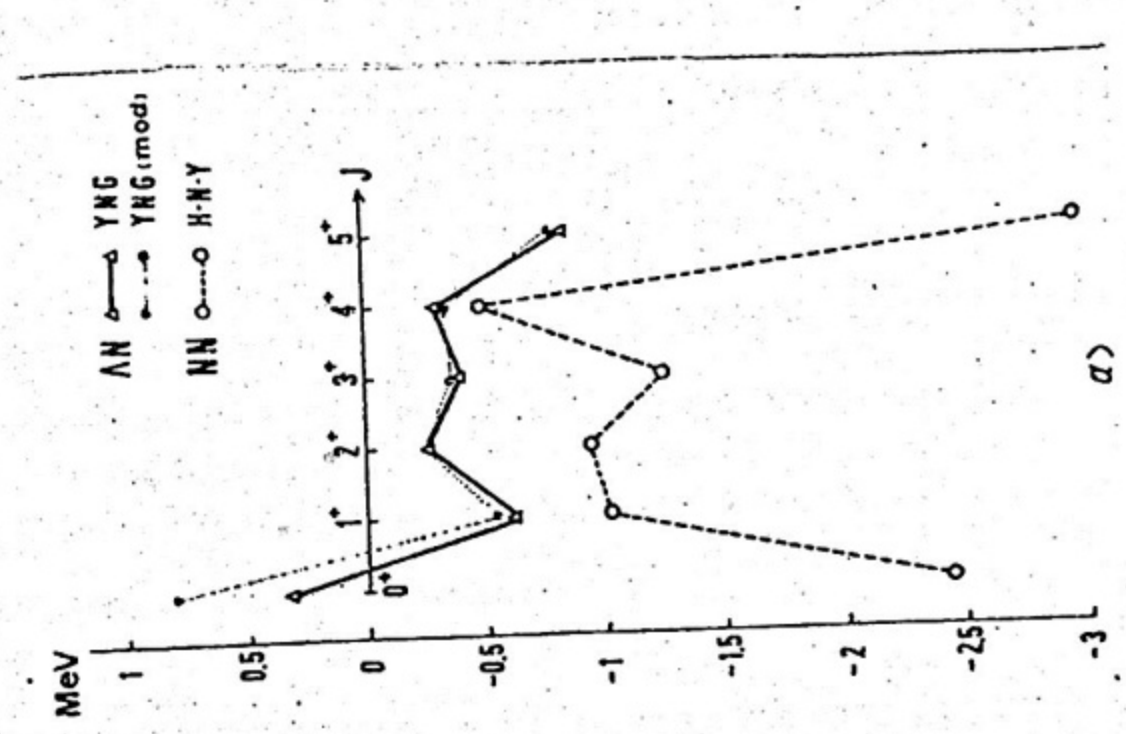


Рис. 12. Сравнение матричных элементов  $\langle d \ell=2 | V | d \ell=2 \rangle$  для  $\Lambda N$ -взаимодействия  $H_{(88)}$  (а) и приведенные матричные элементы для  $\Lambda N$ -взаимодействия  $H_{(39)}$  (б) (и  $n$  и  $\ell$  – главное квантовое число и орбитальный момент относительного движения в осцилляторном потенциале)

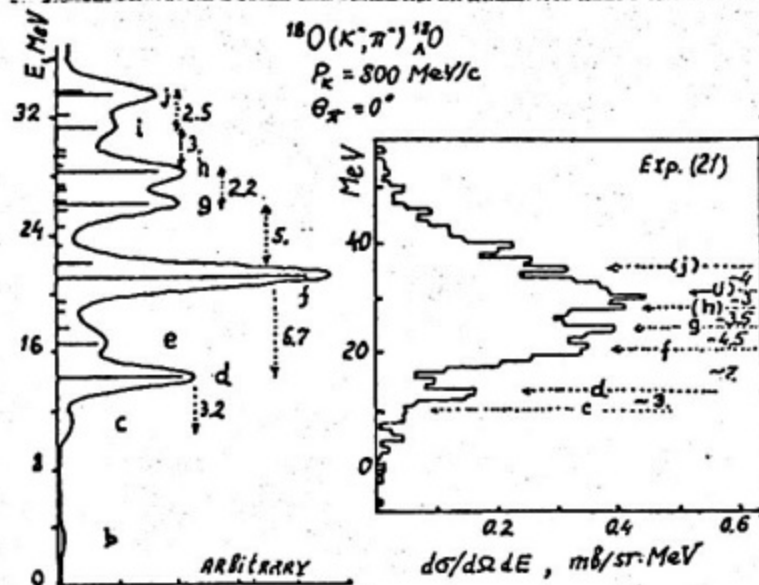


Рис. I3. Сравнение теоретического (ОИ) [87] и экспериментального спектров  $^{18}\text{O}$  в реакции  $(\text{K}^-, \pi^-)$

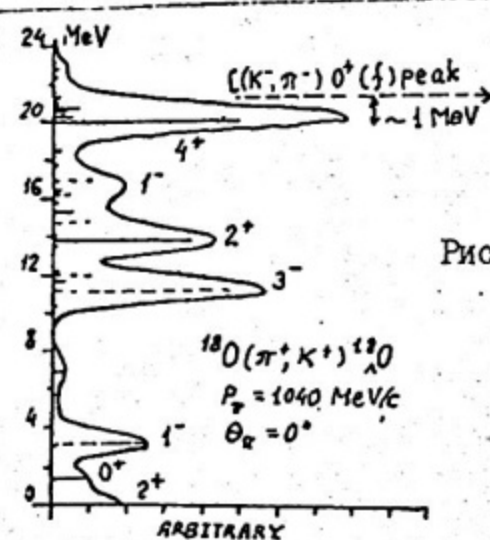


Рис. I4. Теоретический спектр  $^{18}\text{O}$  в реакции  $(\pi^+, K^+)$  [87]

### 2.3. Одночастичные состояния $\Lambda$ -гиперона

Прямое наблюдение одночастичных состояний  $\Lambda$ -гиперона в  $s$ - $p$ -,  $d$ - и  $f$ -оболочках в широком диапазоне массовых чисел ядерной системы недавно удалось осуществить в БИЛ в  $(\pi^+, K^+)$ -реакциях на мишенях  $^9\text{Be}$ ,  $^{12,13}\text{C}$ ,  $^{16}\text{O}$ ,  $^{28}\text{Si}$ ,  $^{40}\text{Ca}$ ,  $^{51}\text{V}$  и  $^{89}\text{Y}$  при  $P_\pi = 1050$  МэВ/с [19]. Этот эксперимент подтвердил предсказанную в [55] природу этих возбуждений, как безузловых одночастичных состояний с наибольшим ("втянутым") орбитальным моментом гиперона и нуклонной "дырки" (*stretch states*,  $J = \ell_\Lambda + \ell_N$ ), и убедительно продемонстрировал формирование гиперонных орбиталей даже в заполненных глубоких нуклонных оболочках. Пример

измеренного спектра  $^{89}_{\Lambda}Y$  и теоретического спектра для близкого по A гиперядра  $^{90}_{\Lambda}Zr$  [56] представлен на рис.15. Детальную интерпретацию аналогичных экспериментальных данных для других гиперядер в рамках ОМ можно найти в [56,I].

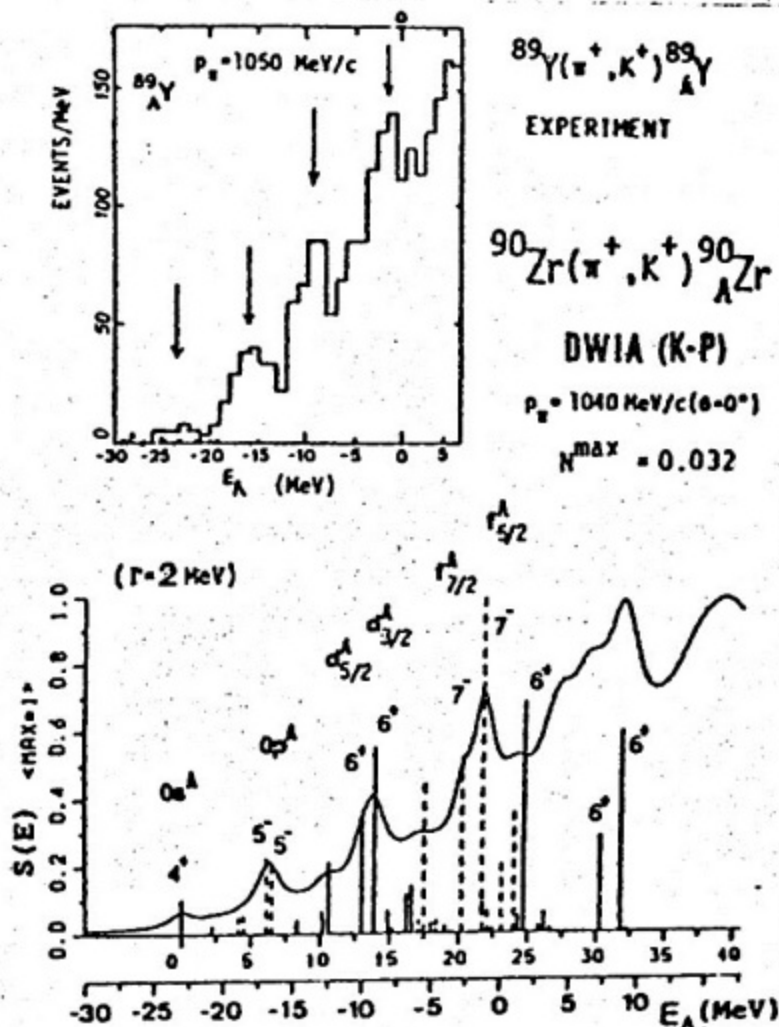


Рис.15. Сравнение спектров гиперядер  $^{89}_{\Lambda}Y$  (эксп.) [19] и  $^{90}_{\Lambda}Zr$  (теор) [56] в ( $\pi^+, K^+$ )-реакции

Полученный в [19] уникальный экспериментальный материал по A-зависимости энергий связи  $\Lambda$ -гиперона в различных оболочках  $B_\Lambda(l)$ , дополненный известными эмульсионными данными по  $B_\Lambda(s)$  легких гиперядер, сразу же послужил предметом теоретического анализа среднего поля, действующего на  $\Lambda$ -гиперон [90-92]. В первую очередь был опробован традиционный  $\Lambda J$ -потенциал Вудса-Саксона:

$$V_\Lambda(r) = -V_0 / (1 + \exp[(r - R)/a]). \quad (15)$$

Оказалось, что такая форма среднего поля описывает весь набор данных  $B_\Lambda(l)$  при условии A-зависимости параметра  $R_0 = I, 128 +$

+  $0,439 A^{-2/3}$ , фм ( $R = r_0 A^{1/3}$ ,  $r_0 = 28$  МэВ,  $a = 0,54$  фм). Найденную  $A$ -зависимость  $r_0$ , приводящую к увеличению  $R$  (для нуклонов обычно принимают  $r_0 = 1,1$  фм)\*, трудно мотивировать в микроскопическом подходе, если попытаться трактовать  $V_A(r)$  как свертку  $V_{NN}(r_N - r_N)$  с плотностью распределения  $\rho_\rho(r)$  центров-масс нуклонов ядра-остова (точечные нуклоны). Поскольку протяженность  $V_{NN}$  примерно такая же, что и размер нуклона ( $r_N^{1/2} \approx 0,8$  фм), то разумно принять, что  $V_A(r)$  в первом приближении пропорционален эмпирической зарядовой плотности ядра, которую достаточно хорошо можно аппроксимировать двухпараметрической формой, подобной (I5):

$$\rho_{ch.}(r) = \rho_0 / (1 + \exp[(r - c)/a]). \quad (I6)$$

Однако для (I6) получается иная, чем для (I5) зависимость  $r(A) = I,114 - I,276 A^{-2/3}$ , фм ( $c = r_0 A^{1/3}$ ,  $a = 0,54$  фм,  $0.3 < R - c < 0.6$  фм,  $89 \geq A \geq 16$ ), что можно расценить как недостаточность линейного по  $\rho$  приближения. Заметное различие в  $R$  и  $c$  наталкивает на мысль о необходимости включения в  $V(r)$  нелинейных по  $\rho$  членов, естественно возникающих, например, в потенциальном подходе Скирма [94, 96] или при введении некоторых форм трехчастичного  $NNN$ -взаимодействия [97]. Простые потенциалы вида  $-Ar^2 + Br^2$  ( $B > 0$ ,  $A > 0$ ;  $\gamma = 4/3, 5/3, 2, 3$ ), не устраниют трудностей – подобранные по  $V_A(l=s, p; \frac{16}{A})$ , они хотя и приводят к более широкой потенциальной яме, но дают завышенные значения  $V_A(l=s, f; \frac{16}{A})$ .

Как показано в [91], трудности интерпретации  $V_A(l)$  устраняются, если воспользоваться известной формой нелокального  $NN$ -взаимодействия Скирма:

$$\begin{aligned} V_{NN, NNN} = & t_0(1 + \chi_0 p_0) \delta(r_N - r_N) + \frac{1}{2} t_1 [k'^2 \delta(r_N - r_N) + \delta(r_N - r_N) k^2] + \\ & + t_2 k' \delta(r_N - r_N) k + t_3 \delta(r_N - r_{N1}) \delta(r_N - r_{N2}). \end{aligned} \quad (I7)$$

В рамках метода Хартри–Фока задача по определению одночастичных функций и энергий сводится к решению уравнения Шредингера с локальным, зависящим от энергии, потенциалом  $V_L(r, E)$ , вклю-

\* Здесь и далее мы следуем аргументации, изложенной в работах [91, 93].

\*\* При достаточно больших В потенциальная яма могла бы сформироваться вблизи поверхности ядра. Такая возможность обсуждалась в [98]. С найденными в [91] по  $V_A(l)$  константами А и В поверхностная яма не возникает.

чающим эффективную массу гиперона  $m^*(r) < m_\Lambda$  [99]:

$$V_L(r, E) = \frac{m^*(r)}{m_\Lambda} u(r) + \left(1 - \frac{m^*(r)}{m_\Lambda}\right) E, \quad (I8)$$

где

$$u(r) = -A\rho(r) + B\rho^2(r) + CT(r); \quad T(r) = \frac{3}{5} (3\sigma^2/2)^{2/3} \cdot \rho^{5/3}(r),$$

$$\frac{\hbar^2}{2m^*(r)} = \frac{\hbar^2}{2m_\Lambda} + C\rho(r). \quad (I9)$$

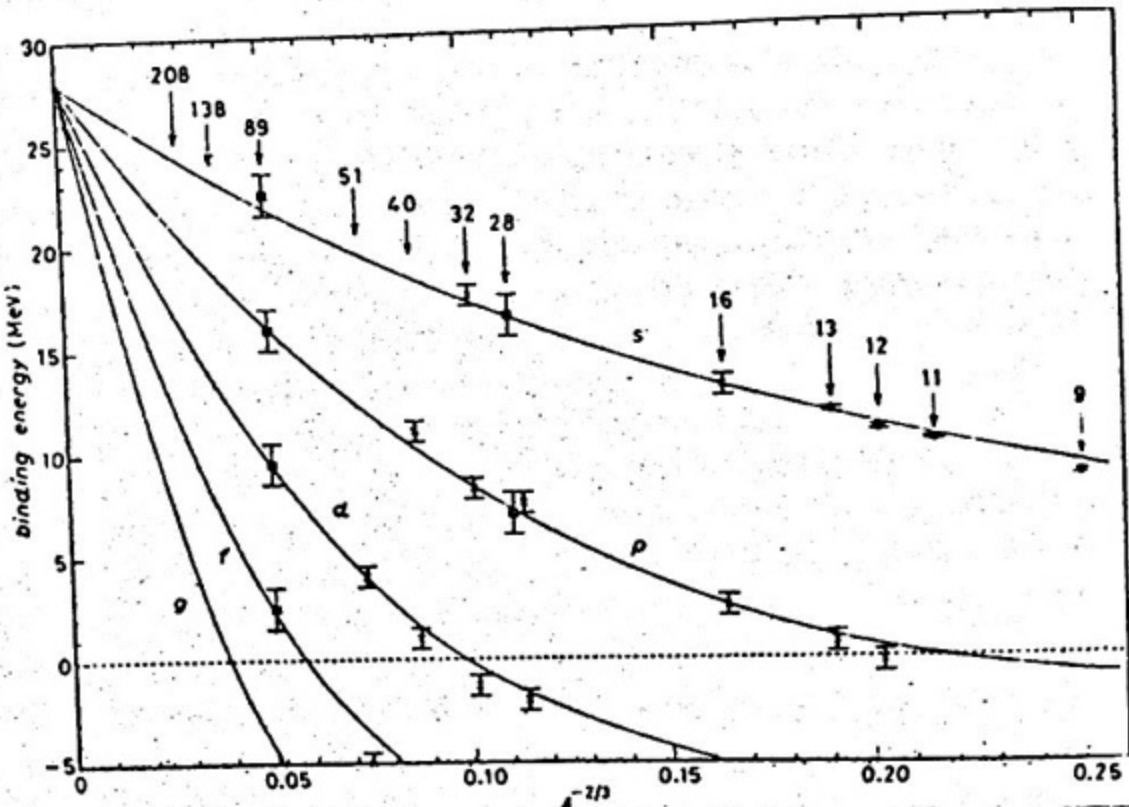


Рис. 16. Сравнение энергий связи  $B_\Lambda^{\text{теор.}}(l)$ , вычисленных с АЛ-взаимодействием (I8), (I9) ( $\gamma = 2$ , сплошные линии), с  $B_\Lambda^{\text{эксп.}}(l)$

Выбором трех констант  $A$ ,  $B$  и  $C$ , как видно из рис. 16, можно хорошо описать все имеющиеся данные по  $B_\Lambda(l)$ . Качество воспроизведения  $B_\Lambda(l)$  почти не критично к  $\gamma$  ( $2, 5/3, 4/3$ ). Разброс глубины потенциала  $D_\Lambda = -u(0)$  и отношения  $\gamma = m^*(0)/m_\Lambda$  получается очень узким —  $27,6 \leq D_\Lambda \leq 28,2$  МэВ,  $0,775 \leq \gamma \leq 0,8$ . Полученные результаты для  $D_\Lambda$  и  $m^*(0)$  находятся в согласии с расчетами по методу  $\delta$ -матрицы других авторов [100].

Метод Хартри-Фока с взаимодействием Скирмса (I7) был также применен в [92] к описанию  $B_\Lambda(s)$  и расщеплений  $\Delta_{sl} = B_\Lambda(s) - B_\Lambda(l)$ , ( $l = p, d$ ) в гиперядрах  $^{13}_\Lambda$ C,  $^{17}_\Lambda$ O,  $^{29}_\Lambda$ S,  $^{41}_\Lambda$ Ca,  $^{57}_\Lambda$ Fe.

$^{91}_{\Lambda}\text{Zr}$  и  $^{209}_{\Lambda}\text{Pb}$ . Эта работа отличается от [91] способом решения исходных уравнений и иным выбором параметров: параметр  $a_1 = \frac{1}{4}(t_1 + t_2)$  фиксирован по эффективной массе  $m_{\Lambda}^*$  в ядерной материи ( $m_{\Lambda}^*/m_{\Lambda} \sim 0,8$ ),  $t_0$  и  $t_1$  подгонялись по  $B_{\Lambda}$  ( $^5_{\Lambda}\text{He}$ ) и  $B_{\Lambda}$  ( $^{17}_{\Lambda}\text{O}$  или  $^{209}_{\Lambda}\text{Pb}$ ) (потенциал (15) с параметрами  $V_0$ ,  $R$  и  $a$  из работы [90]),  $x_0$  находился по расщеплению  $4E$  ( $\Gamma^+, 0^+$ )  $\sim 1$  МэВ в  $^4_{\Lambda}\text{He}$  ( $^4_{\Lambda}\text{H}$ ), интенсивность  $NN$ -сил  $t_3$  варьировалась. Расчеты показывают, что наилучшее описание  $\Delta_{SL}$  получается, если учитывать  $NN$ -взаимодействие; значения  $B_{\Lambda}(s)$  не очень критичны к  $NN$ -силам. Найденные величины глубины ямы  $D_{\Lambda}$  близки к полученным в [91]. Во всех расчетах  $\Lambda$ -гиперон рассматривался как нетождественная нуклону частица, при этом  $B_{\Lambda}^{loop}(\ell)$  согласуются с экспериментом в широком диапазоне массовых чисел, вплоть до  $^{89}_{\Lambda}\text{Y}$ . Было бы интересно в измерениях  $B_{\Lambda}(\ell)$  продвинуться в область более тяжелых гиперядер с целью поиска отклонений от  $B_{\Lambda}^{loop}(\ell)$ , которые могли бы расцениваться как указание на частичный деконфайнмент夸克ов  $\Lambda$ -гиперона [90]. Прецизионные данные по  $\Delta_{Sp}$  и  $\Delta_{Sd}$  можно получить из реакции  $(\pi^+, K^+ \gamma)$ :  $p$ - и  $d$ -одночастичные уровни в потенциале (15) в тяжелых гиперядрах получаются связанными. По этим  $\gamma$ -переходам можно, по-видимому, определить пока неизвестные спин-орбитальные расщепления  $\epsilon_p^1$  и  $\epsilon_d^1$  в глубоких нуклонных оболочках.

## ЗАКЛЮЧЕНИЕ

Из представленного краткого обзора следует, что анализ даже весьма ограниченной информации о возбужденных гиперядрах, полученной за последние два десятилетия в  $(K^-, \pi^-), (K^-, \pi^-\gamma); (\pi^+, K^+)$ -реакциях, дал ценную информацию о  $M$ - и  $M$ -взаимодействиях. Однако, несмотря на достигнутые успехи, спектроскопия гиперядер, очевидно, все еще находится в начальной фазе своего развития. Новые теоретические результаты по связанным состояниям легких гиперядер стимулируют целенаправленное применение реакций  $(K^-, \pi^-\gamma)$ ,  $(K^-, \pi^0\gamma)$ ,  $(\gamma, K^+\gamma')$ ,  $(\pi^+, K^+\gamma')$  в  $\gamma$ -спектроскопии гиперядер. Реализация таких экспериментов позволит более точно фиксировать потенциальные параметры  $M$ -взаимодействия, а также установить степень их универсальности в гиперядрах Пр-оболочки. Особый интерес представляют поиски "следов" возможного частичного деконфайнмента夸克ов  $\Lambda$ -гиперона в ядерной среде, отражающего влияние принципа Паули на夸ковом уровне. На нынешнем

этапе гиперядерной спектроскопии, в пределах точности экспериментов не видно каких-либо резких отклонений экспериментальных данных от теоретических, полученных в предположении полной нетождественности  $\Lambda$ -гиперона. Дополняя известные соображения о возможном проявлении деконфайнмента в нарушении распадных правил отбора по изоспину [7], в  $A$ -зависимости  $b_A(\ell)$  [90, 92], в изменении магнитного момента  $\Lambda$ -гиперона и др. [7], отметим, что вследствие обнаруженной малости величины спин-орбитального расщепления  $\epsilon_\ell^\Lambda$ , в отличие, например, от энергий связи, она может оказаться критичной к частичному деконфайнменту кварков  $\Lambda$ -гиперона, особенно в тех случаях, когда  $\Lambda$ -гиперон попадает в полностью заполненные нуклонные оболочки. Изучение  $\gamma$ -переходов с изменением одночастичных орбит  $\Lambda$ -гиперона  $(d_j, p_j \dots) \rightarrow s_{1/2}$  в легких и тяжелых гиперядрах позволит более точно определить  $\epsilon_\ell^\Lambda$  и сопоставить его с предсказаниями кварковых и потенциальных подходов. Дальнейшее исследование функций возбуждения резонансных состояний в непрерывном спектре с более высоким энергетическим разрешением желательно с целью выяснения спиновой зависимости, обменного характера и других свойств  $\Lambda N$ -взаимодействия. В перспективе, с вводом в действие мезонных фабрик нового поколения, возможные разрешения, например, в  $(\pi^+, K^+)$ -реакциях могут достигнуть  $\sim 100$  кэВ [101], что выведет спектроскопию гиперядер на качественно новый уровень. Физика гиперядер и взаимодействий странных частиц является существенной составной частью разрабатываемых программ на сильноточном электронном ускорителе *CERN* [102] и проектируемых каонных и адронных фабриках [103].

\*\*\*

Автор выражает глубокую признательность оргкомитету школы им. В.М. Галицкого за предложение представить эту лекцию, а также проф. Л. Майлингу за плодотворное обсуждение многих вопросов гиперядерной спектроскопии.

#### СПИСОК ЛИТЕРАТУРЫ

1. Bandō H., Motoba T. and Žofka J. - Int. J. Mod. Phys., 1990, v. A5, p. 4021.
2. Dover C.B., Millener D.J. and Gal A. - Phys. Rep., 1989, v. 184, p. I.
3. Hayano R.S., Ishikawa T., Iwasaki Y. e.a. - Nuovo Cim., 1989, v. 102, p. 437.

4. Harada T., Akaishi Y., Shinmura S., Tanaka H. - Nuovo Cim., 1989, v. 102, p. 473; Dalitz R.H., Davis D.H. and DeJoff A. - Preprint Univ. of Oxford OUTP-89-42P; Yamada T., Ikeda - Nuovo Cim., 1989, v. 102, p. 481.
5. Wilkinson D.H. e.a. - Phys. Rev., 1959, v. 3, p. 397; Bechdorff A. e.a. - Phys. Lett., 1968, v. 26B, p. 174; Catala J. - Proc. Int. Conf. on Hypernuclear Physics, v. 2 (Argonne, 1969), p. 753.
6. Alexander G., Karshon U., Shapira A. e.a. - Phys. Rev., 1968, v. 173, p. 1452; Sechi-Zorn B., Kehoe B., Twitti J. and Burnstein R.A. - Phys. Rev., 1968, v. 175, p. 1735; Engelman R., Filthuth H., Hepp V. and Kluge E. - Phys. Lett., 1966, v. 21, p. 587; Eisele F., Filthuth H., Fölisch W. e.a. - Nucl. Phys., 1971, v. B37, p. 204.
7. Yamazaki T. - Nucl. Phys., 1987, v. A463, p. 39c; Dover C.B. - Proc. Int. Symp. on Medium Energy Physics, Beijing, June, 1987, ed. Huan-Ching and Zheng Lin-Sheng (World Scien., Singapore, 1987) p. 257; Л. Майлинг - Труды международного совещания по теории малоизученных и квark-адронных систем, 16-20 июня, 1987, Дубна, с. 405.
8. Danysz M., Pniewski J. - Phil. Mag., 1953, v. 44, p. 348.
9. Juric M. e.a. - Nucl. Phys., 1973, v. B52, p. I; Pniewski J.e.a.- Nucl. Phys., 1985, v. A443, p. 685; Cantwell M. e.a. - Nucl. Phys., 1974, v. A236, p. 445.
10. Bamberger A., Faessler M., Lynn U. e.a. - Nucl. Phys., 1973, v. B60, p. L.
11. Bedjidian M., Filipowski A., Grossiord J. e.a. - Phys. Lett., 1976, v. 62B, p. 469.
12. Bedjidian M., Descroix E., Grossiord J. e.a. - Phys. Lett., 1979, v. 83B, p. 252.
13. May M., Bart S., Chen S. e.a. - Phys. Rev. Lett., 1983, v. 51, p. 2085.
14. Bertini R. e.a. - Phys. Lett., 1979, v. 83B, p. 306; Nucl. Phys., 1981, v. A360, p. 315; Nucl. Phys., 1981, v. A368, p. 365.
15. Bedjidian M. e.a. - Phys. Lett., 1980, v. 94B, p. 480.
16. Herrera J.C., Kolata J.J., Kraner H.W. e.a. - Phys. Rev. Lett., 1978, v. 40, p. 158.
17. Chrien R.E. e.a. - Phys. Rev., 1990, v. C41, p. 1062.
18. Majling L., Žofka J., Fetisov V.N., Eramzhyan R.A. - Z. Phys., 1990, v. A337, p. 337.

19. Chrien R.E. e.a. - Nucl. Phys., 1988, v. A478, p. 705c.  
 20. Brückner W. e.a. - Phys. Lett., 1975, v. 55B, p. 107; Phys. Lett.,  
     1976, v. 62B, p. 481; Phys. Lett., 1978, v. 79B, p. 157.  
 21. May M. e.a. - Phys. Rev. Lett., 1981, v. 47, p. 1106.  
 22. Pile P.H. - ссылка /35/, p. 413.  
 23. Hashimoto O., Nagae T., Fukuda T. e.a. - ссылка /35/, p. 679.  
 24. Dalitz R.H., Gal A. - Ann. of Phys. (NY), 1978, v. II6; p. 167.  
 25. Pniewski J., Danysz M. - Phys. Lett., 1962, v. I, p. 142; Juric  
     M., Bohm G., Klabun J. e.a. - Nucl. Phys., 1973, v. B52, p. I.  
 26. Dalitz R.H., Gal A. - Nucl. Phys., 1967, v. B1, p. I; J. Phys.  
     G: Nucl. Phys., 1978, v. 4, p. 889.  
 27. Lemonne J., Mayeur C., Sacton J. e. a.- Phys. Lett., 1965, v. 18,  
     p. 354.  
 28. Pniewski J. - Methods in Subnuclear Physics, ed. M.Nikelic, v. I,  
     Part I (Gordon and Breach, 1969). Бом Г., Крекер У. - ЭЧАЯ,  
     1972, т. 3, с. 218; Хрылин Б.А. - УФН, 1971, т. 105, с. 185;  
     Филимонов В.А. - ссылка /30/ с. 240.  
 29. Pniewski J., Zieminska Г. - ссылка /30/ с. 33.  
 30. Труды международного семинара "Каон-ядерное взаимодействие и  
     гиперядра", Звенигород, 12-14 сент. 1977, М.: Наука, 1979.  
 31. Proc. of 1979 Int. Conf. on Hypernucl. and Low Energy Kaon  
     Physics, Nucleonica, 1980, v. 25, №. 3-4.  
 32. Proc. of Int. Conf. on Hypernucl. and Kaon Physics, ed. B.Povh,  
     June 20-24, Heidelberg, 1982.  
 33. Proc. of Int. Conf. on Hypernucl. and Kaon Physics, ed R.E.  
     Chrien, Sept. 9-13, 1985; Nucl. Phys., 1986, v. A450.  
 34. Proc. of 1986 INS Int. Symp. on Hypernucl. Physics, eds. H.Bando,  
     O.Hashimoto, K.Ogawa, August 20-23, Tokyo, 1986; Contrib.Papers.  
 35. Proc. of Int. Symp. on Hypernucl. and Low Energy Kaon Physics,  
     Legnaro, Sept. 12-16, Italy, 1988, eds. Bressani T., Cannata F.,  
     Lowe J., Ricci R.A.; Nuovo Cimento, 1989, v. 102, №. 1.  
 36. Gal A. - Adv. Nucl. Phys., eds. M.Baranger and E.Vogt, 1975,  
     v. 8, p. I; Povh B. - Progr. Part. Nucl. Phys., 1981, v. 5,  
     p. 245; Богданова Л.Н., Маркушин В.Е. - ЭЧАЯ, 1984, т. 15, с. 208.  
     Фетисов В.Н. - Препринт ФИАН, № 340, 1987.  
 37. Dover C.B., Walker G.E. - Phys. Rep., 1982, v. 89, p. I:  
 38. Chrien R.E., Dover C.B. - Ann. Rev. Nucl. Part. Sci., 1989,  
     v. 39, p. 113.  
 39. Structure of Hypernuclei, Progr. Theor. Phys. Suppl. N. 81, 1985.

40. Авраменко С.А., Абдурахимов А.У., Аксиненко В.Д. и др.  
(сотрудничество Ленинград - Варшава-София-Алма-Ата - Москва) -  
Письма в ЖЭТФ, 1988, т. 48, с. 477.
41. Нога В.И., Ранюк Ю.Н., Руткевич Н.Я. и др. - ЯФ, 1987, т. 46,  
с. I3I3; Укр. физ. ж., 1990, т. 5I, с. I7I.
42. Epherre - Rey Compagnoli M. (Collaboration PSI77) ссылки /34/  
с. 207 и /35/ с. 653.
43. Sotona M., Žofka J. - Progr. Theor. Phys., 1989, v. 8I, p. I60.
44. Schorsch W., Tietge J., Weilnbök W. - Nucl. Phys., 197I, v. B25,  
p. I79.
45. Hansen J.D., Morrison D.R.O., Tovey N., Flaminio E. - Compilation  
of cross sections proton induced reactions, CERN-HERA, 70-2, 1970.
46. Подгорецкий М.И. - ЖЭТФ, 1963, т. 44, с. 695; Lipkin H.J. - Phys.  
Rev. Lett., 1965, v. I4, p. I8; Feshbach H., Kerman A.K. -  
Preludes in Theor. Physics, eds. A. de Shalit, H.Feshbach, L. Van  
Hove, Amsterdam, 1965, p. 260; Kerman A.K., Lipkin H.J. - Ann.  
Phys. (N.Y.), 197I, v. 66, p. 738.
47. Fetisov V.N., Kozlov M.I., Lebedev A.I. - Phys. Lett., 1972,  
v. 38B, p. I29.
48. Shinmura S., Akaishi Y., Tanaka H. - ссылка /34/, с. 2I7.
49. Sotona M., Žofka J., Fetisov V.N., Bandō H. - Czech.J. Phys.,  
1989, v. B39, p. I273.
50. Žofka J. - ссылка /35/, с. 327.
51. Ejiri H., Fukuda T., Shibata T., Bandō H., Kubo K.-I. - ссылка  
/34/, с. 223.
52. Mach R. - Nucl. Phys., 1976, v. A258, p. 5I3; Žofka J., Sotona M.,  
Fetisov V.N. - Nucl. Phys., 1984, v. A43I, p. 603.
53. Yamada T., Motoba T., Ikeda K., Bandō H. - ссылка /39/, гл. IV.
54. Bouyssi A. - Phys. Lett., 1980, v. 9IB, p. I5.
55. Dover C.B., Ludeking L., Walker G.E. - Phys. Rev., 1980, v. C22, p. 2075.
56. Motoba T., Bandō H., Wünsch R., Žofka J. - Phys. Rev., 1988,  
v. C38, p. I322; Motoba T. - ссылка /35/, с. 345.
57. Majling L., Žofka J., Fetisov V.N., Eramzhyan R.A. - Phys. Lett.,  
1983, v. I3OB, p. 235.
58. Козлов М.И., Фетисов В.Н. - Препринт ФИАН № 25, 1974.
59. Cohen J. - Int. J. Mod. Phys., 1989, v. A4, p. I.
60. Bodmer A.R., Usmani Q.N. - Nucl. Phys., 1996, v. A450, p. 257c.
61. Gibson E.F. - ссылка /33/, с. 243c.
62. Chrien R.E. - Proc. Int. Symp. Weak and Electromagnetic

- Interaction in Nuclei, Heidelberg, 1986, ed. H.V.Klopför, p. 587.
63. Ajzenberg-Selove F. - Nucl. Phys., 1988, v. A490, p. I; 1985, v. A433, p. I; 1986, v. A449, p. I.
64. Cohen S., Kurath D. - Nucl. Phys., 1965, v. 73, p. I.
65. Barker F.S. - Nucl. Phys., 1965, v. 83, p. 418.
66. Balashov V.V., Boyarkina A.N., Rotter I. - Nucl. Phys., 1964, v. 59, p. 417.
67. Gal A., Soper J.M., Dalitz R.H. - Ann. Phys. (NY), 1971, v. 63, p. 53; 1972, v. 72, p. 445; 1978, v. 113, p. 79.
68. Millener D.J., Gal A., Dover C.B., Dalitz R.H. - Phys. Rev., 1985, v. C31, p. 499.
69. Nagels K.W., Rijken T.A., deSwart J.J. - Phys. Rev., 1975, v. D12, p. 244; 1977, v. D15, p. 2547; v. D20, p. 1633.
70. Chrien R.E., Bart S., May M. e.a. - Phys. Rev., 1990, v. C41, p. 1062; Chrien R.E. - ссылка /35/, с. 727.
71. Chrien R.E. - Czech. J. Phys., 1989, v. B39, p. 914.
72. Fetisov V.N., Majling L., Žofka J., Eramzhyan R.A. - Препринт ФИАН, №. II2, 1990; Z.Phys. ( в печати ).
73. Wang Xi-cang, Bandō H., Takaki H. - Z. Phys., 1987, v. A327, p. 51.
74. Itonaga K., Motoba T., Bando H. - Progr. Theor. Phys., 1990, v. 84, p. 291.
75. Колесников Н.Н., Сокол Г.А., Амарасингам Д. - Препринт ФИАН, № 61, 1981.
76. Bouyssy A. - ссылка /31/, с. 413.
77. Fetisov V.N., Majling L., Žofka J., Eramzhyan R.A. - Z.Phys., 1983, v. A314, p. 239.
78. Auerbach E.H., Baltz A.J., Dover C.B. e.a. - Ann. Phys. (NY), 1983, v. 148, p. 381.
79. Majling L., Žofka J., Fetisov V.N.; Eramzhyan R.A. - ссылка /34/, с. II2.
80. Auerbach E.H., Baltz A.J., Dover C.B. e.a. - Phys. Rev. Lett., 1981, v. 47, p. 1110.
81. Dalitz R.H., Gal A. - Ann. Phys. (NY), 1981, v. 131, p. 314.
82. Dalitz R.H., Gal A. - Phys. Rev. Lett., 1976, v. 36, p. 362.
83. Pirner H.J. - Phys. Lett., 1979, v. 85B, p. 190; Pirner H.J., Povh B. - Phys. lett., 1982, v. 114B, p. 308.
84. Brockmann R. - Phys. Lett., 1981, v. 104B, p. 256; Bouyssy A. - Phys. Lett., 1981, v. 99B, p. 305; Nucl. Phys., 1982, v. A381, p. 445; Bandō H. - Progr. Theor. Phys., 1981, v. 66, 1349; Filimonov V.A. - ссылка /32/, с. 197.
85. Dalitz R.H., Herndon R.C., Tang Y.C. - Nucl. Phys., 1972, v. 347, p. 109.

86. Bandō H. - ссылка /33/, c. 2I7c; J. Phys. Soc. Jpn., 1989, v. 58 Suppl., p. 379.
87. Yamada T., Motoba T., Ikeda K., Bandō H. - ссылка /39/, c. I04.
88. Hasegawa A., Nagata S. - Progr. Theor. Phys., 1971, v. 45, I786; Yamamoto Y. - Progr. Theor. Phys., 1974, v. 52, p. 471.
89. Shapiro I.S. - Nucl. Phys., 1990, v. A518, p. 2I3.
90. Dover C.B. - Proc. of Int. Symp. on Medium - Energy Physics, Beijing, China (June, 1987), ed. Chiang Huan-Ching and Zheng Lin-Sheng, World Scientific, Singapore, 1987.
91. Millener D.J., Dover C.B., Gal A. - Phys. Rev., 1988, v. C38, p. 2700.
92. Yamamoto Y., Bandō H., Žofka J. - Progr. Theor. Phys., 1988, v. 80, p. 757.
93. Gal A. - ссылка /35/, c. 293.
94. Skyrme T.H.R. - Phil. Mag., 1956, v. I, p. I043; Nucl. Phys., 1959, v. 9, p. 6I5.
95. Rayet M. - Ann. Phys., 1976, v. I02, p. 226; Nucl. Phys., 1981, v. A367, p. 38I.
96. Vautherin D., Brink D.M. - Phys. Rev., 1972, v. C5, p. 626.
97. Bodmer A.R., Usmani Q.H. - Nucl. Phys., 1983, v. A477, p. 62I; Yamamoto Y. - Phys. Rev., 1987, v. C36, p. 2I66.
98. Бычков А.С. - ЯФ, 1984, т. 40, с. 408.
99. Dover C.B., N. van Giai - Nucl. Phys., 1972, v. A190, p. 373.
100. Yamamoto Y., Bando H. - Progr. Theor. Phys., 1985, v. 73, p. 905; ссылка /39/, c. 9; Büttgen R., Holinde K., Holzenkamp B., Speth J. - Intersection between Part. and Nucl. Phys. (Canada, 1986) ed. D.F. Geesaman, AIP Conf. Proc., 1986, v. I50, p. 924.
101. Chrien R.E., Millener D.J. - Z. Phys. - Part F, 1990, v. 46, p. 5I57.
102. Concept. Design Rep., CEBAF, April 1990, SURF, Virginia.
103. Proc. Kaon Factory Workshop, ed M.K. Craddock, Vancouver, 1970, TRI-79-I; Physics with LAMPF II, Proposal, 1983, LA-9798-P; A proposal for Japanese Hadron Project, INS, Rep., Sept. 1987; Hypernuclear Physics at KAON, Proc. TRIUMF/KEK Workshop, June 1989, KEK Rep. 89-6 ; Bradamante F. - ссылка /35/, c. 7I3.

## СОДЕРЖАНИЕ

|   |    |
|---|----|
| Введение . . . . .                                      | 3  |
| 1. Особенности реакций образования гиперядер . . . . .  | 7  |
| 2. Спектры гиперядер и АN-, АA-взаимодействия . . . . . | 15 |
| 2.1. Связанные состояния . . . . .                      | 15 |
| 2.2. Резонансы в непрерывном спектре . . . . .          | 20 |
| 2.3. Одночастичные состояния А-гиперона . . . . .       | 26 |
| Заключение . . . . .                                    | 30 |
| Список литературы . . . . .                             | 31 |

Редактор И. Н. Маркина

Техн. редактор Е. Н. Кочубей

Корректор М. В. Макарова

---

Подписано в печать 6.05.91.

Формат 60×84 1/16

П. л. 2,25

Уч.-изд. л. 2,25

Тираж 180 экз.

Заказ 782

Цена 15 коп.

Изд. № 059-1

---

Московский инженерно-физический институт. Типография МИФИ.  
115409, Москва, Каширское шоссе, 31